

Szklarska Poręba - Kamienna S-N

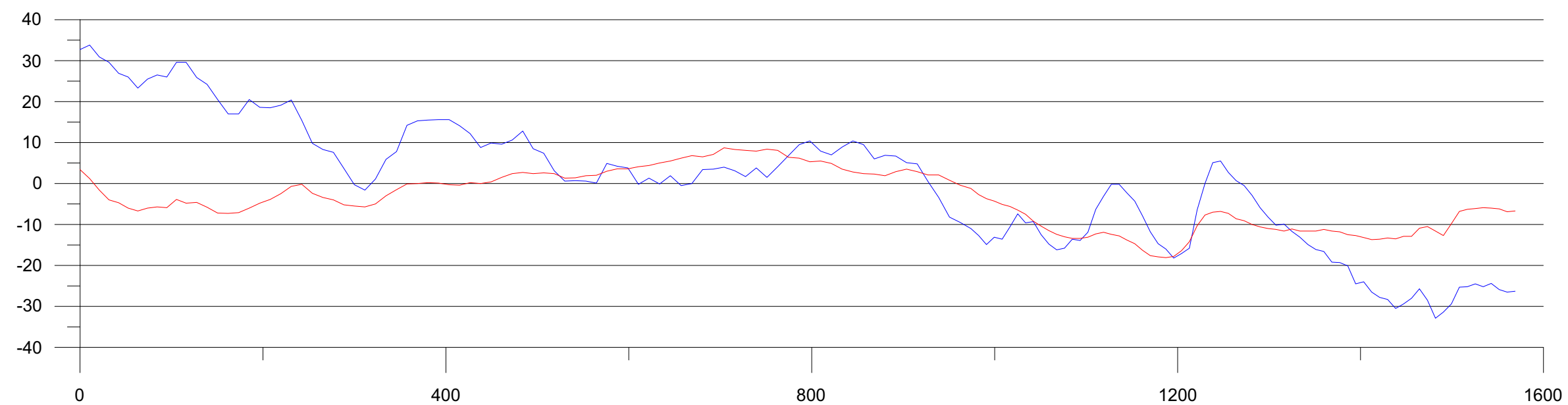
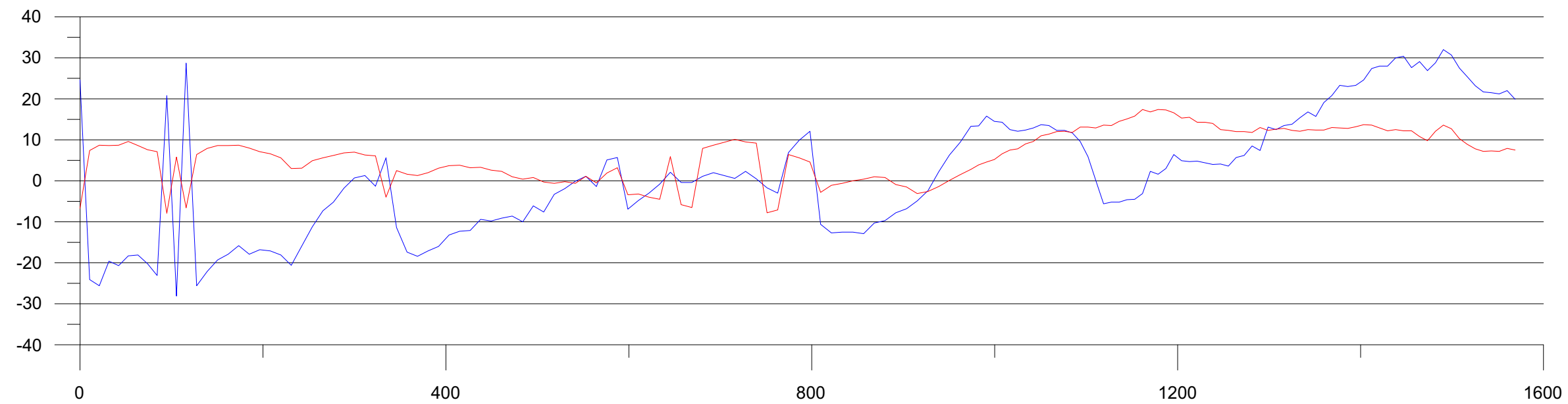
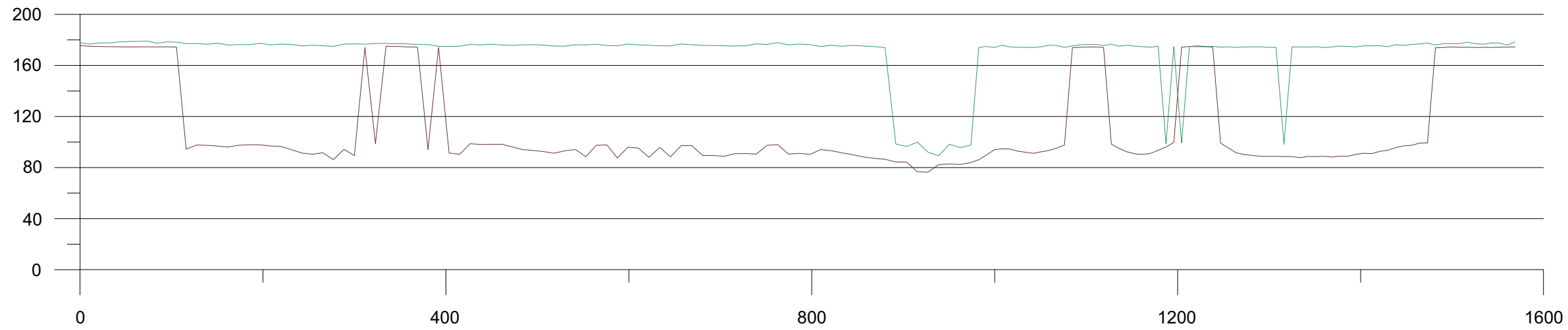


Fig. 5.2.1 Wykresy przebiegu składowych fazowych indukowanego pola elektromagnetycznego wzdłuż linii pomiarowej Szklarska Poręba - Kamienna

Przesieka S-N

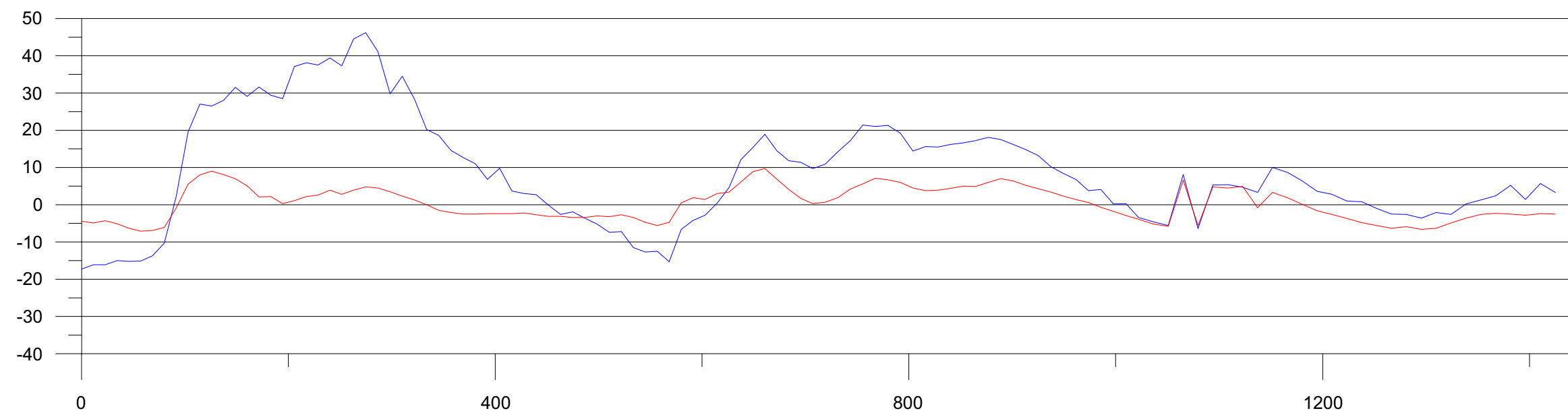
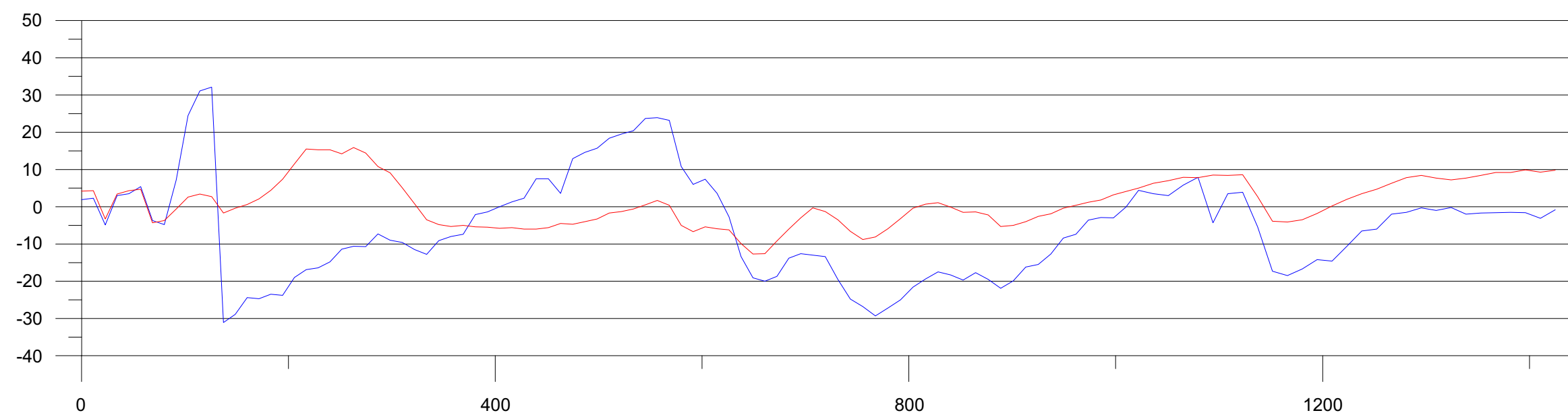
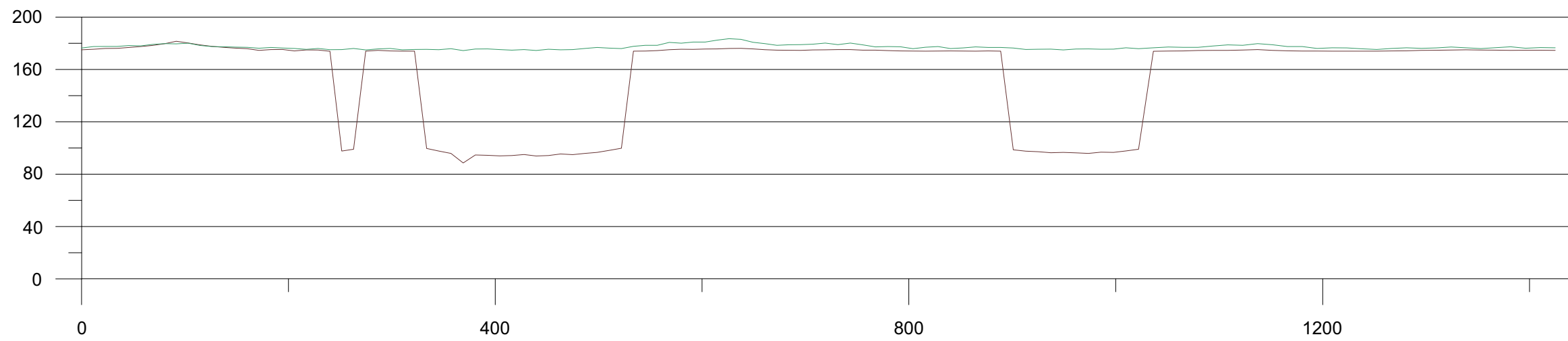


Fig. 5.2.2 Wykresy przebiegu składowych fazowych indukowanego pola elektromagnetycznego wzdłuż linii pomiarowej Przesieka

Stary Waliszów I SWS-ENE

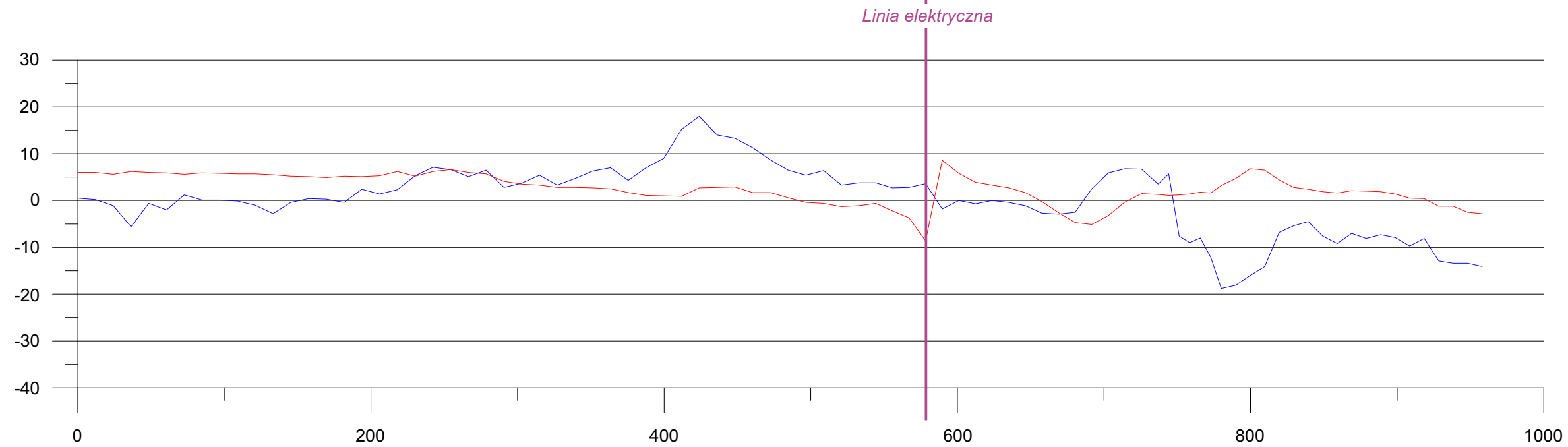
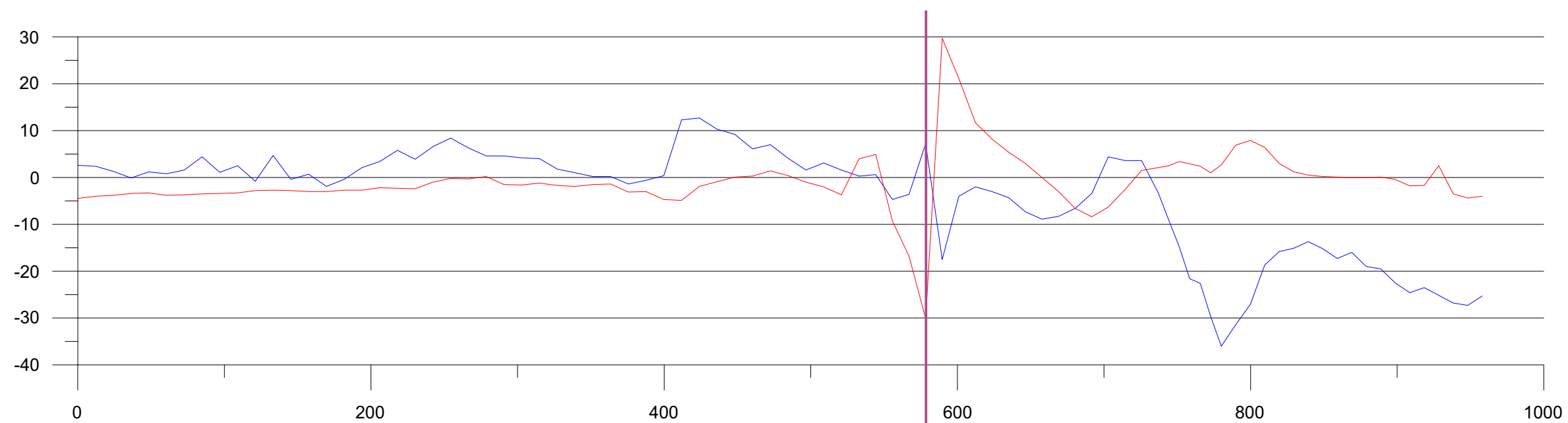
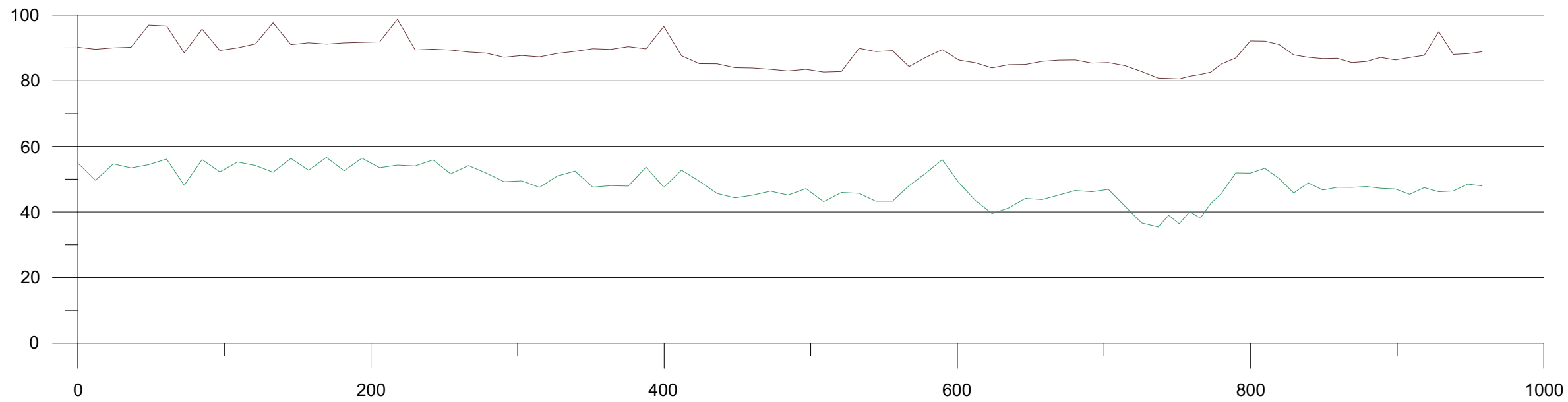
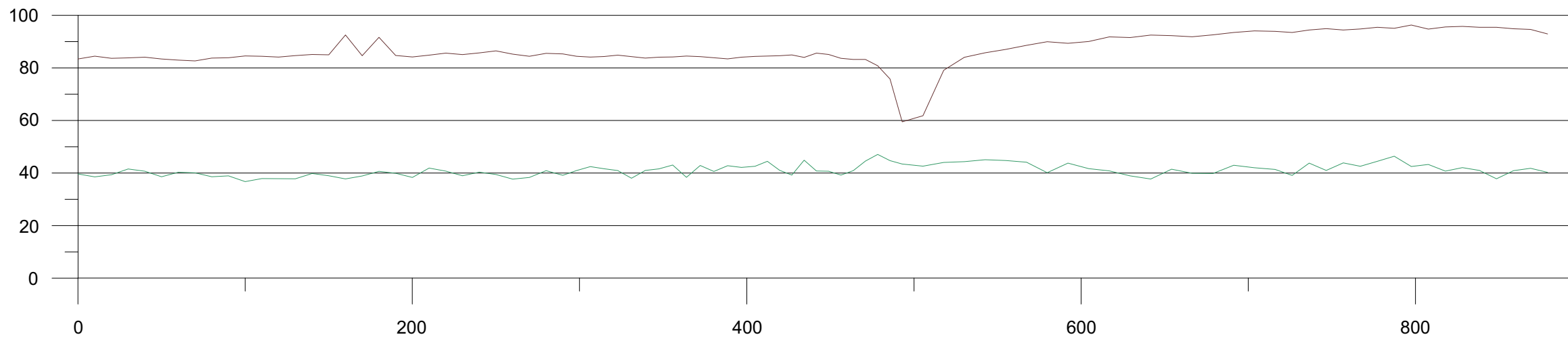
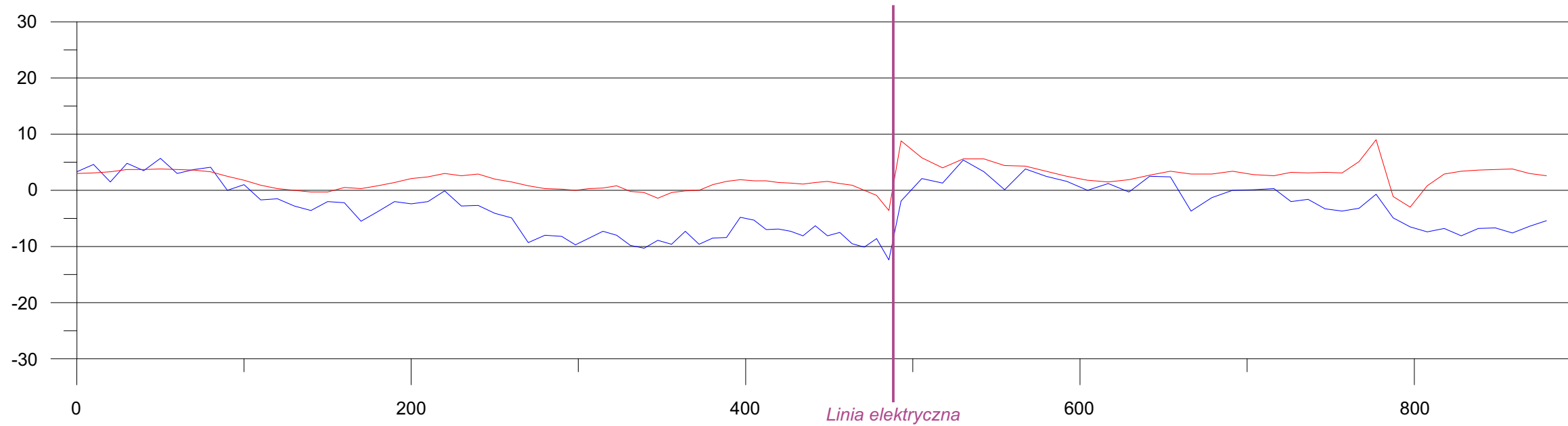


Fig. 5.2.3 Wykresy przebiegu składowych fazowych indukowanego pola elektromagnetycznego wzdłuż linii pomiarowej Stary Waliszów I

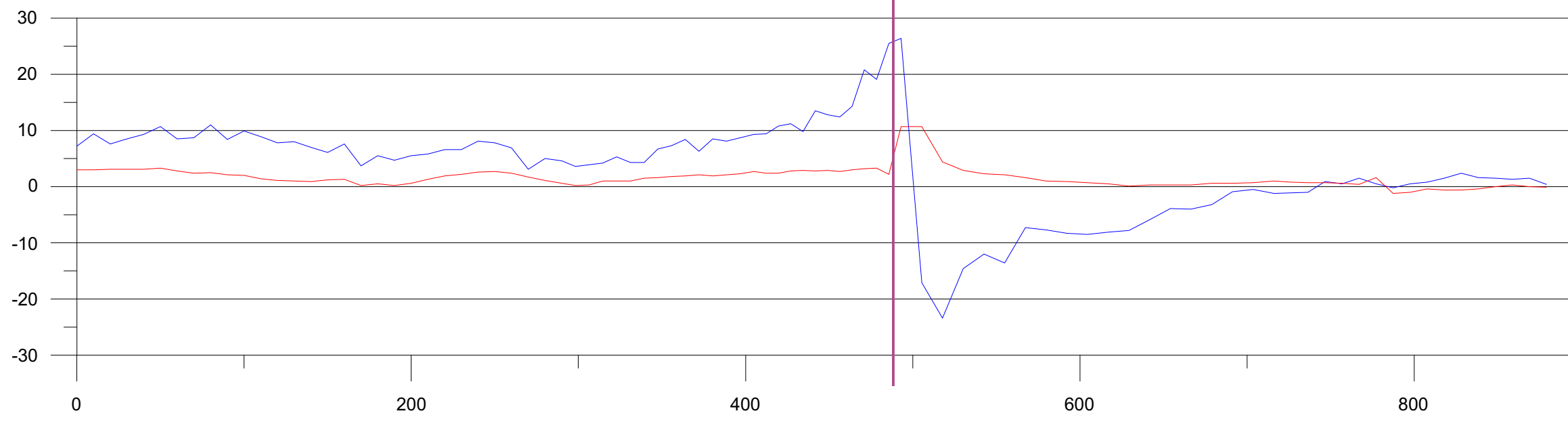
Idzików (Pasterskie Skały) W-E



Natężenie pola pierwotnego  
 18,3 kHz  
 23,3 kHz



Składowe pola indukowanego nadajnik Burlage, Niemcy  
 kierunek 300  
 23,3 khz  
 IP  
 Quad



Składowe pola indukowanego nadajnik Rosnay, Francja  
 kierunek 256  
 18,3 khz  
 IP  
 Quad

Fig. 5.2.4 Wykresy przebiegu składowych fazowych indukowanego pola elektromagnetycznego wzdłuż linii pomiarowej Idzików (Pasterskie Skały)

Wilkanów W-E

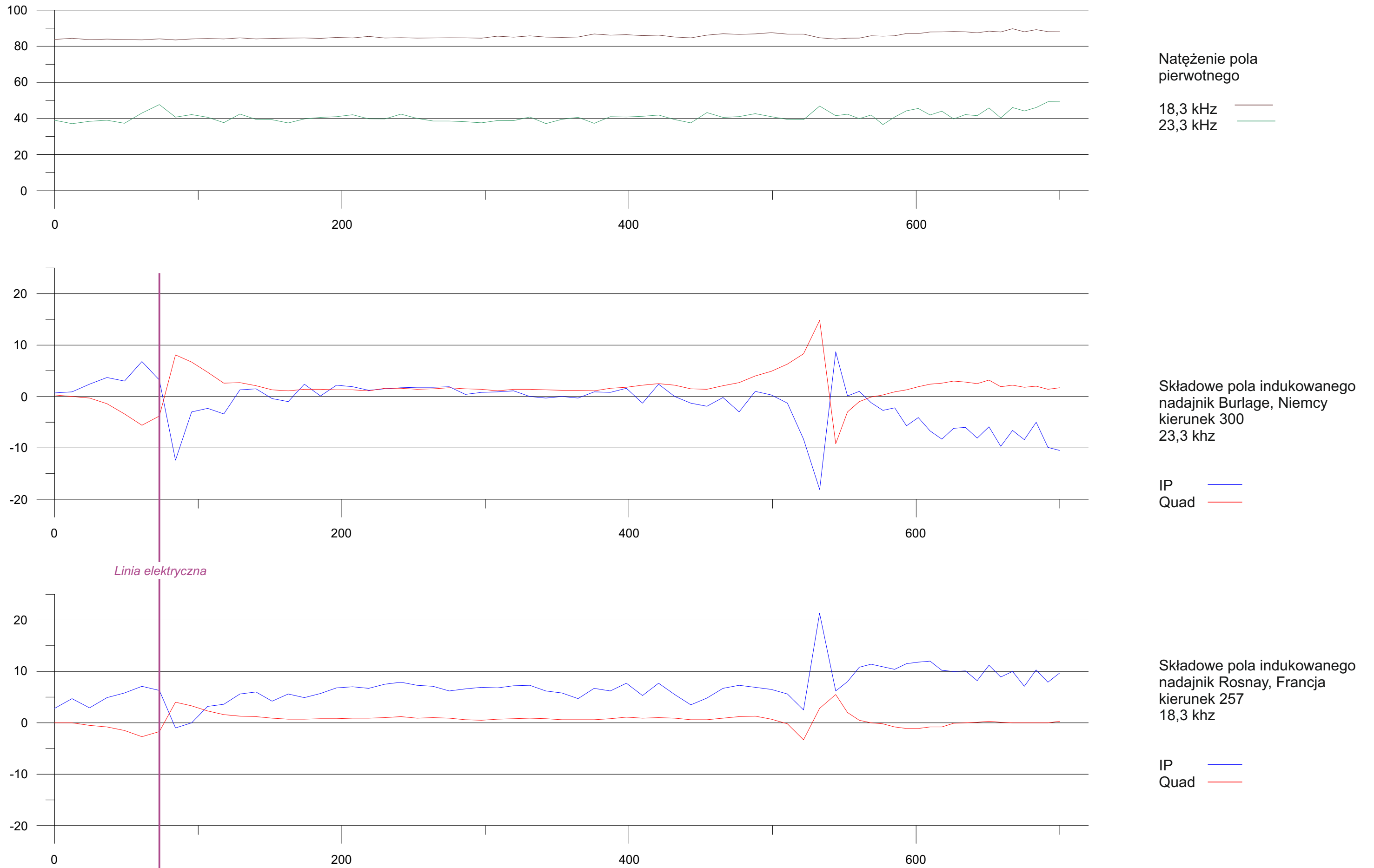


Fig. 5.2.5 Wykresy przebiegu składowych fazowych indukowanego pola elektromagnetycznego wzdłuż linii pomiarowej Wilkanów

# Ławszowa S-N

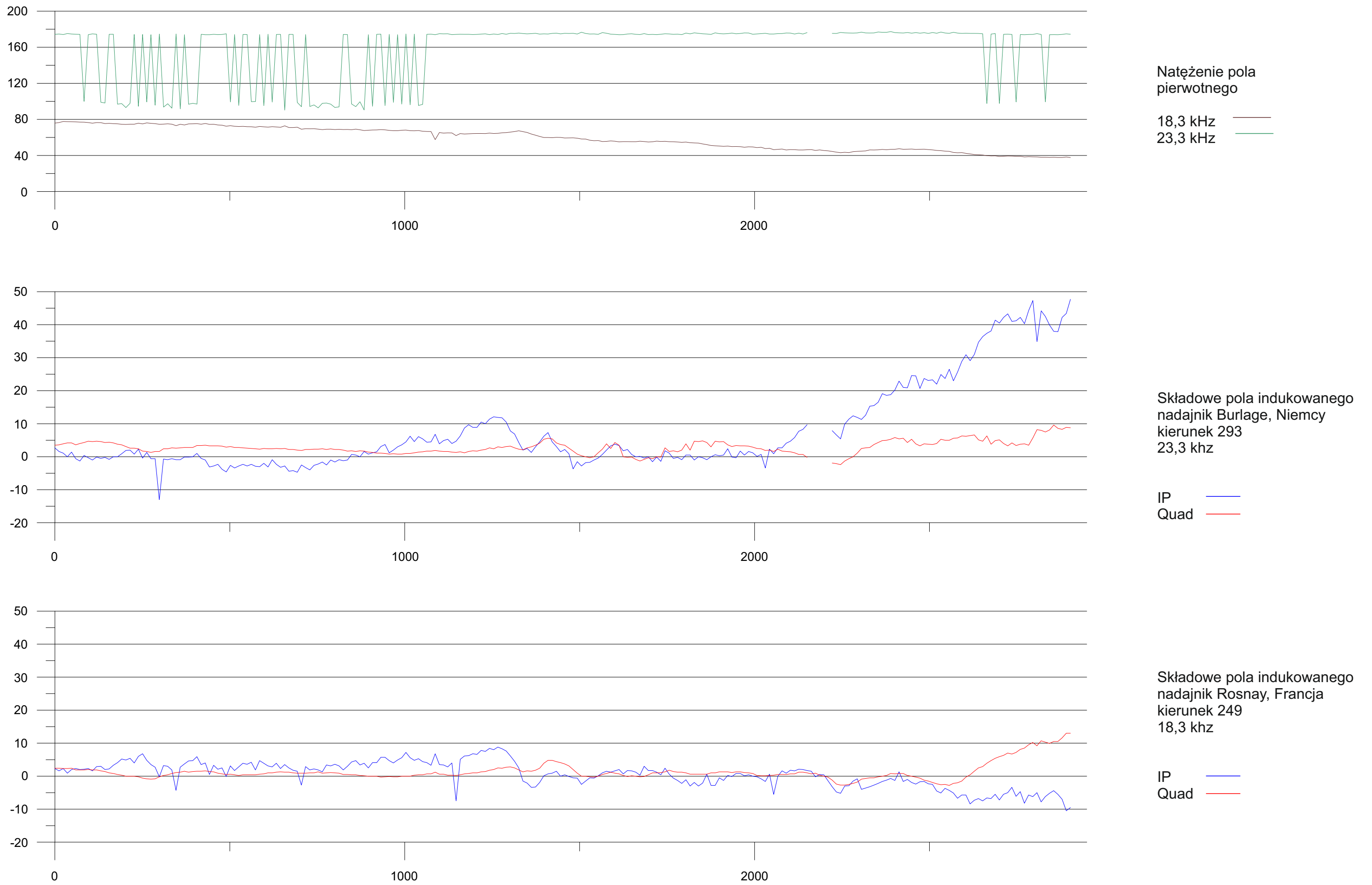


Fig. 5.2.6 Wykresy przebiegu składowych fazowych indukowanego pola elektromagnetycznego wzdłuż linii pomiarowej Ławszowa

Tomaszów Bolesławiecki I ENE-WSW

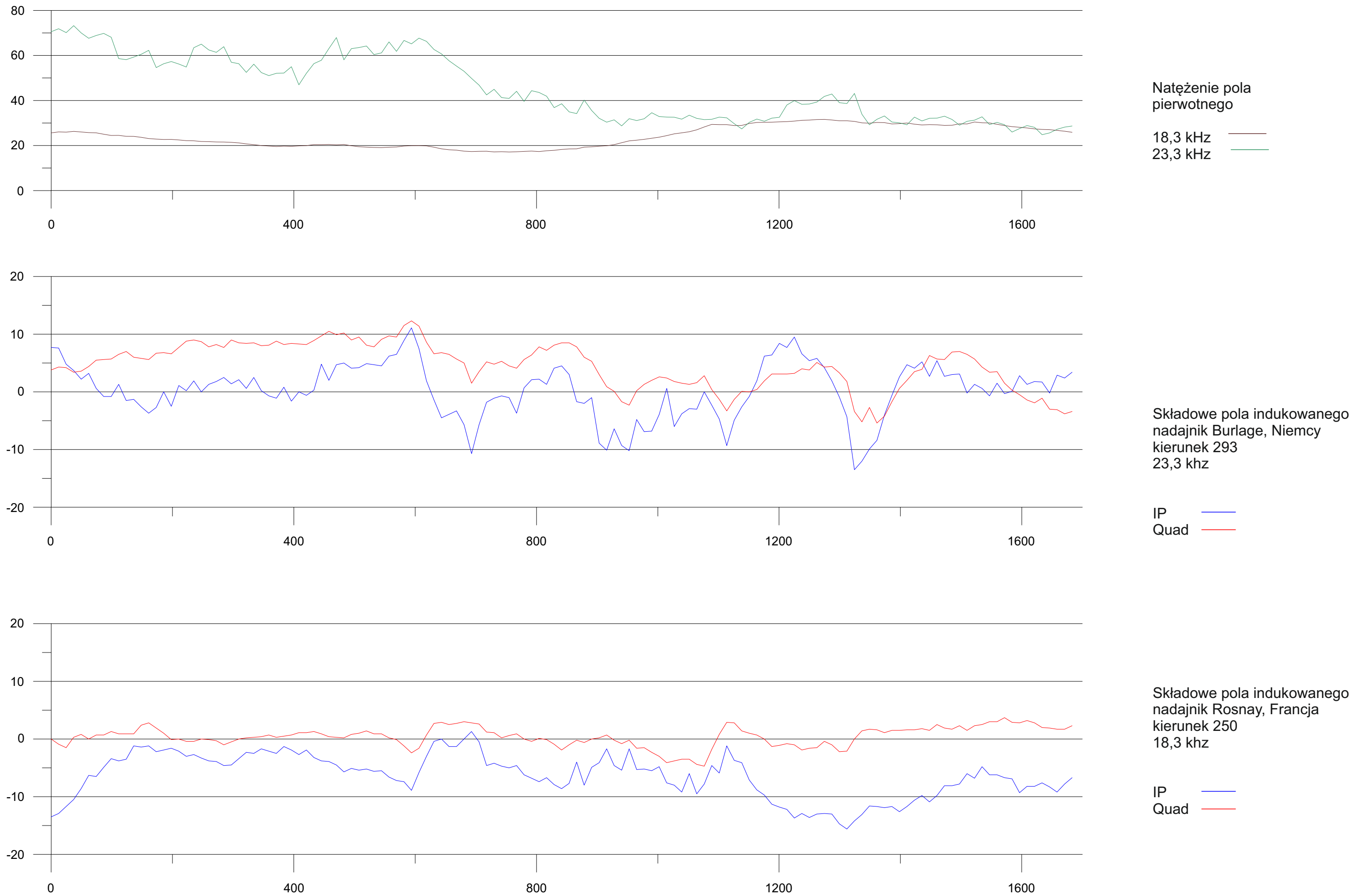


Fig. 5.2.7 Wykresy przebiegu składowych fazowych indukowanego pola elektromagnetycznego wzdłuż linii pomiarowej Tomaszów Bolesławiecki I

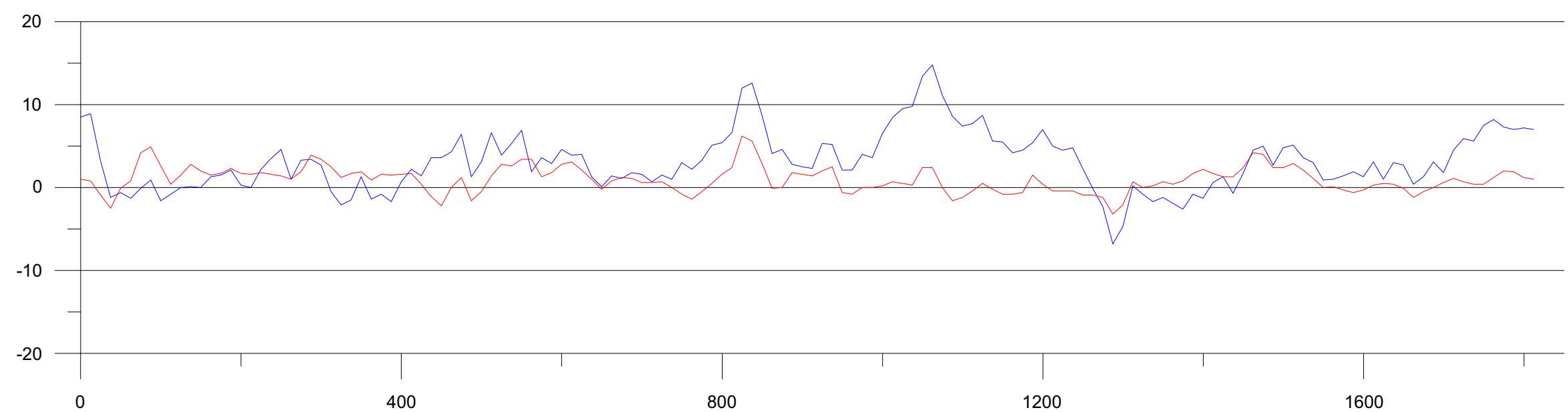
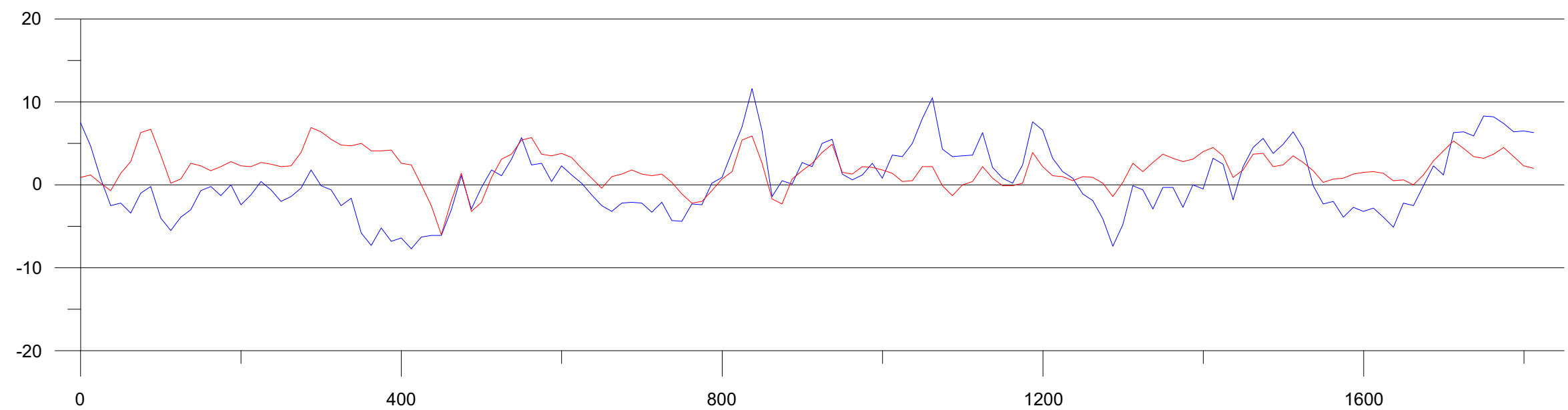
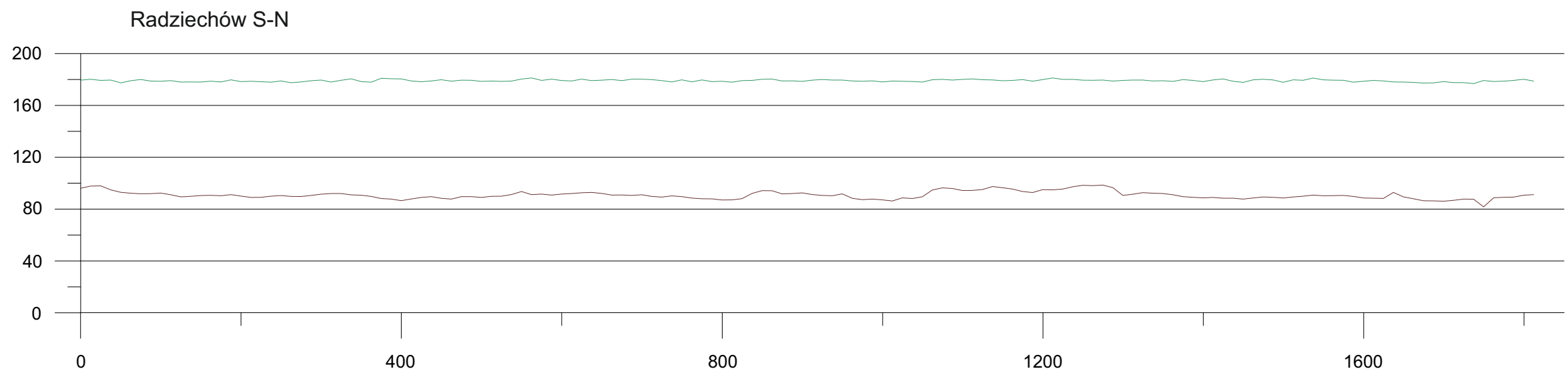


Fig. 5.2.8. Wykresy przebiegu składowych fazowych indukowanego pola elektromagnetycznego wzdłuż linii pomiarowej Radziechów



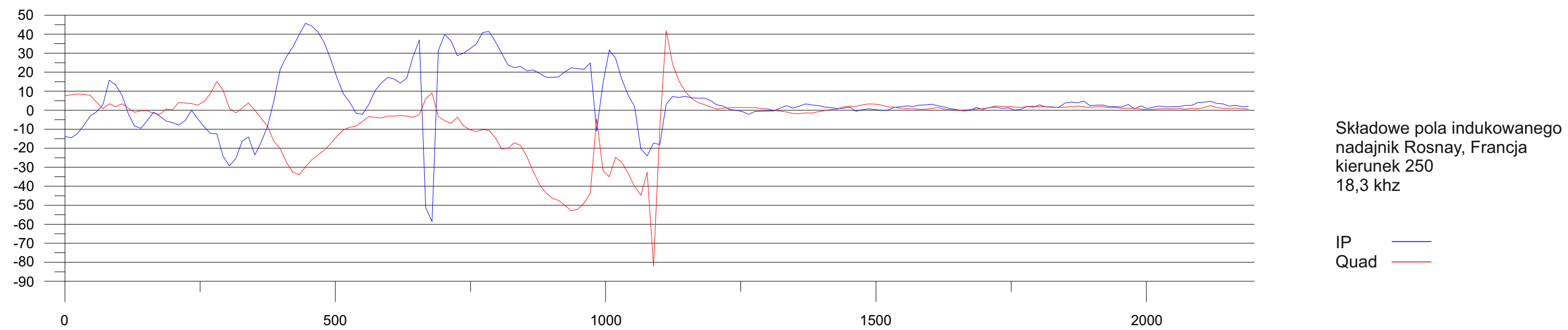
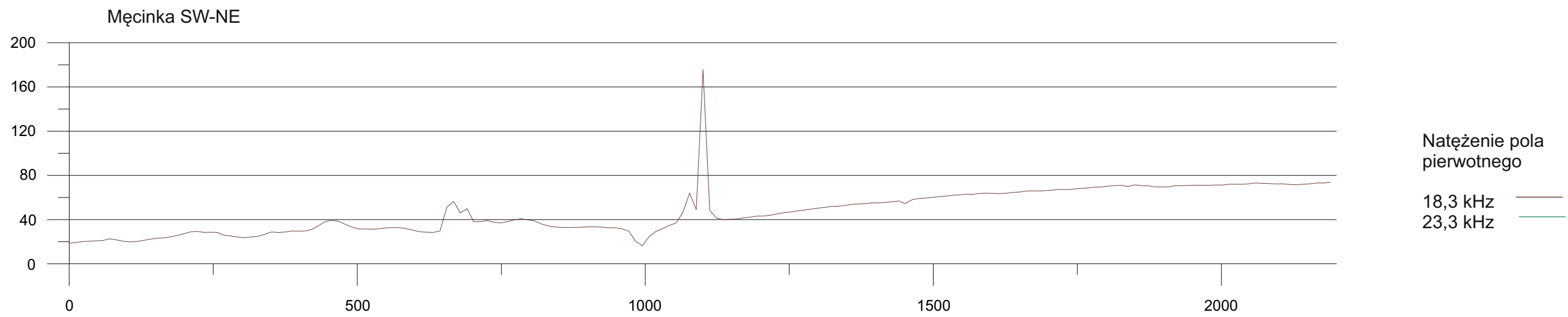


Fig. 5.2.9. Wykresy przebiegu składowych fazowych indukowanego pola elektromagnetycznego wzdłuż linii pomiarowej Męcinka

Myślibórz SW-NE

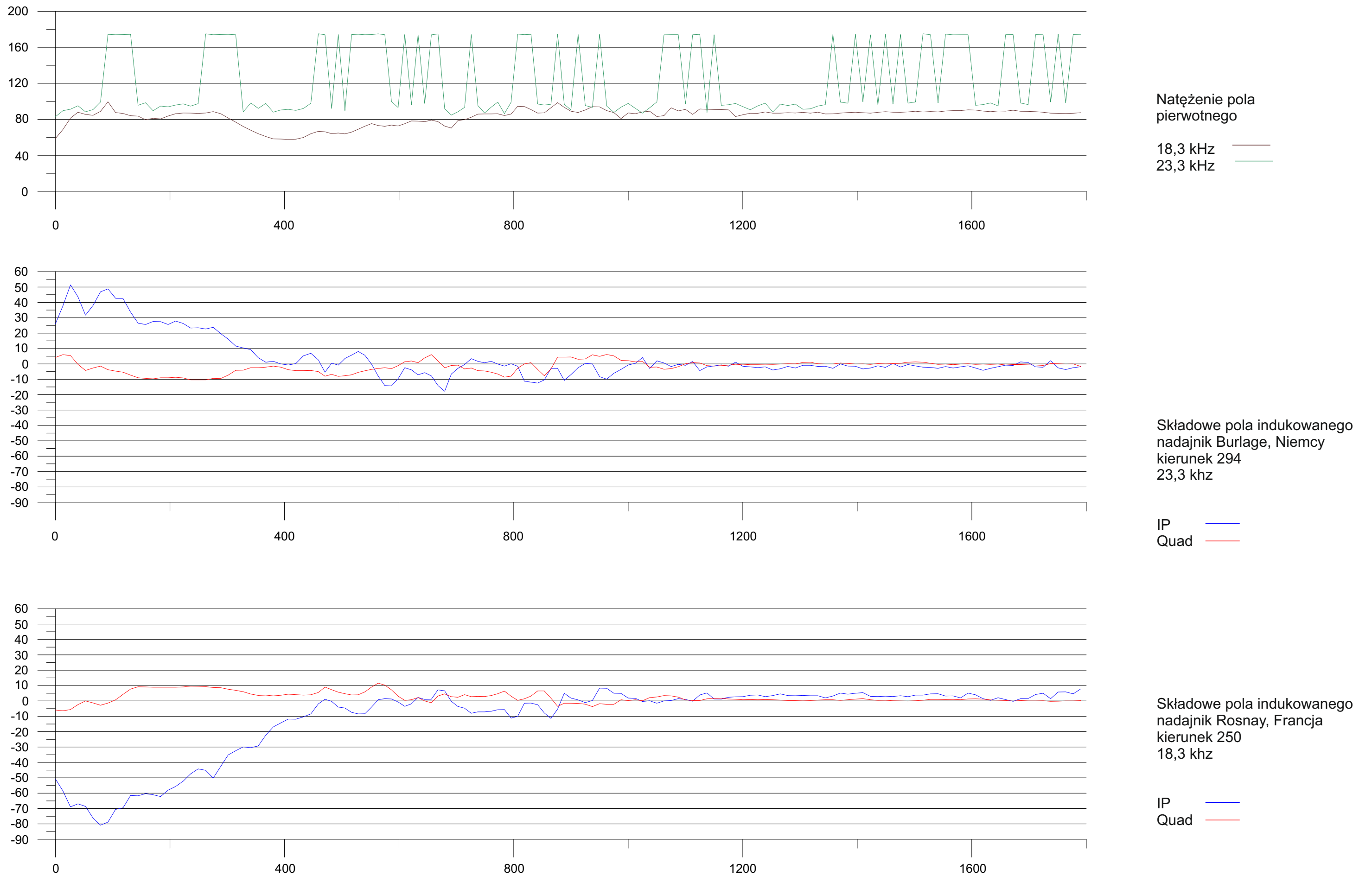


Fig. 5.2.10 Wykresy przebiegu składowych fazowych indukowanego pola elektromagnetycznego wzdłuż linii pomiarowej Myślibórz

Kłaczyna WSW-ENE

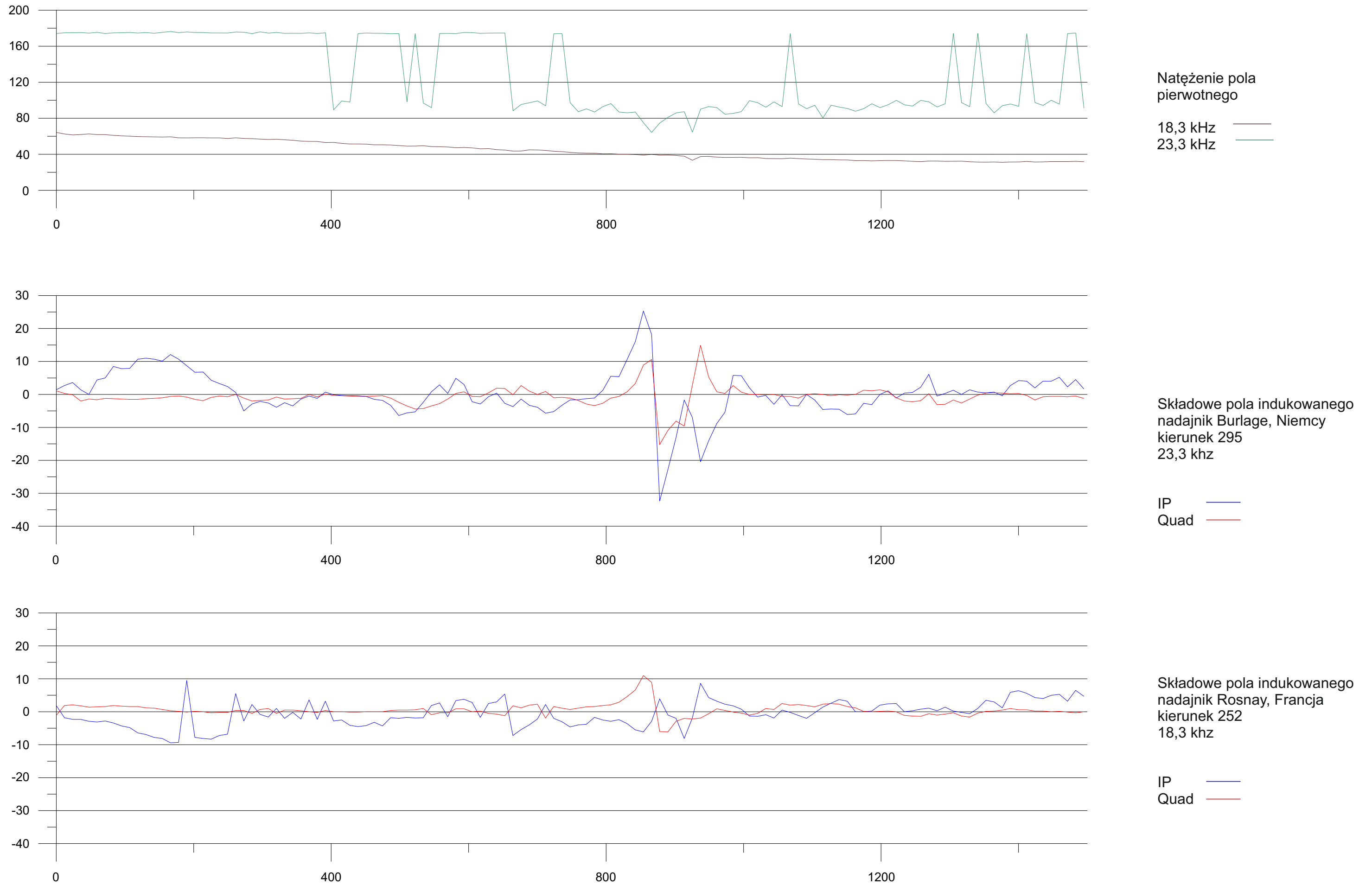
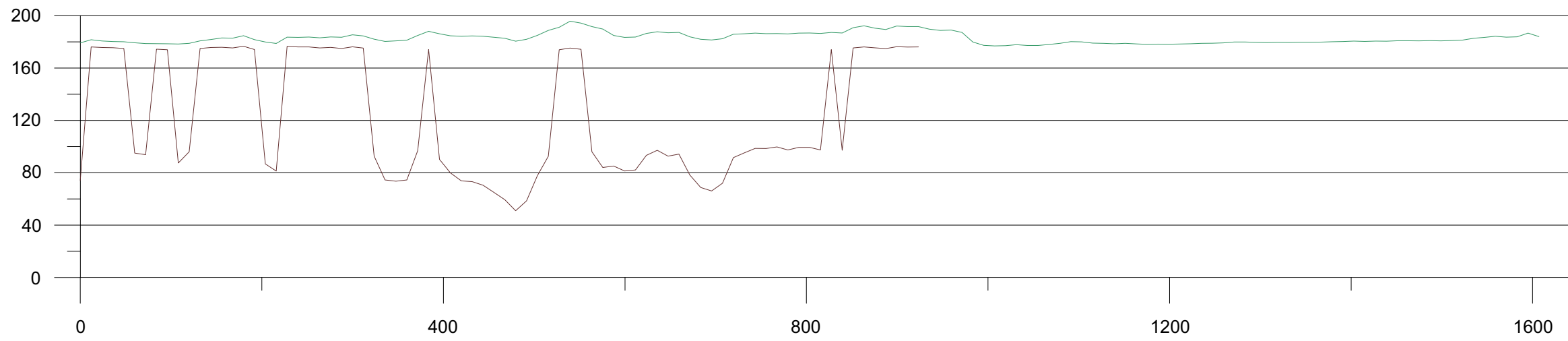


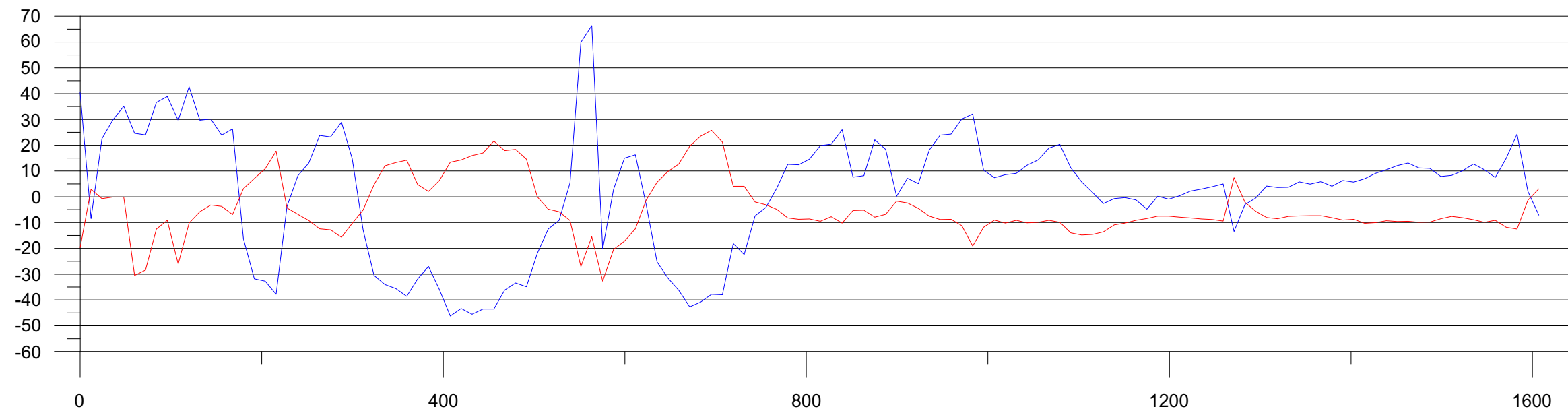
Fig. 5.2.11 Wykresy przebiegu składowych fazowych indukowanego pola elektromagnetycznego wzdłuż linii pomiarowej Kłaczyna

Mokrzyszów 1 WSW-ENE



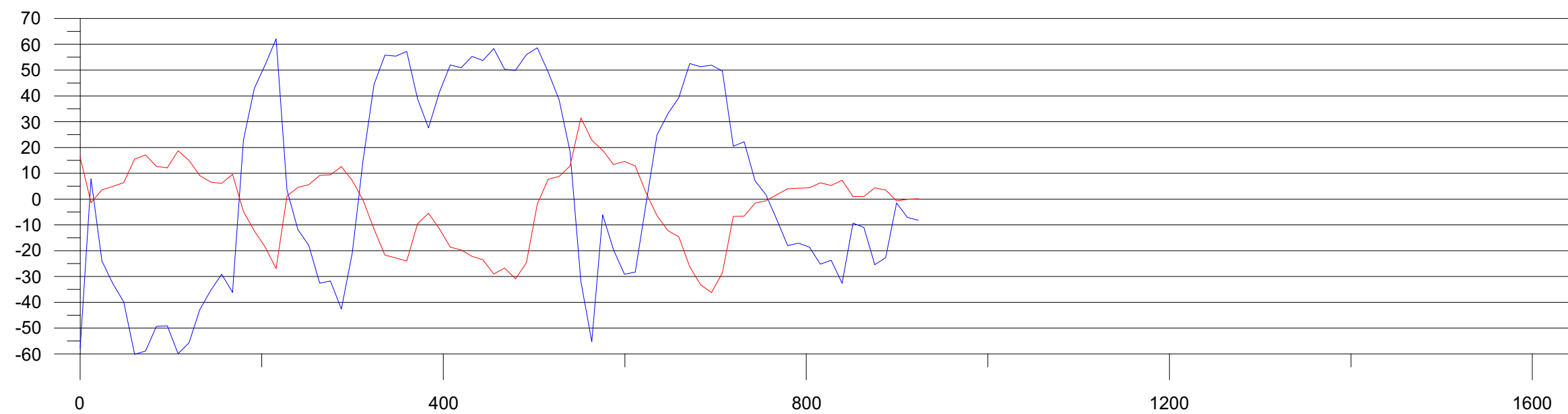
Natężenie pola pierwotnego

18,3 kHz —  
23,3 kHz —



Składowe pola indukowanego nadajnik Burlage, Niemcy  
kierunek 296  
23,3 khz

IP —  
Quad —



Składowe pola indukowanego nadajnik Rosnay, Francja  
kierunek 253  
18,3 khz

IP —  
Quad —

Fig. 5.2.12. Wykresy przebiegu składowych fazowych indukowanego pola elektromagnetycznego wzdłuż linii pomiarowej Mokrzyszów 1

Mokrzyszów 2 NW-SE

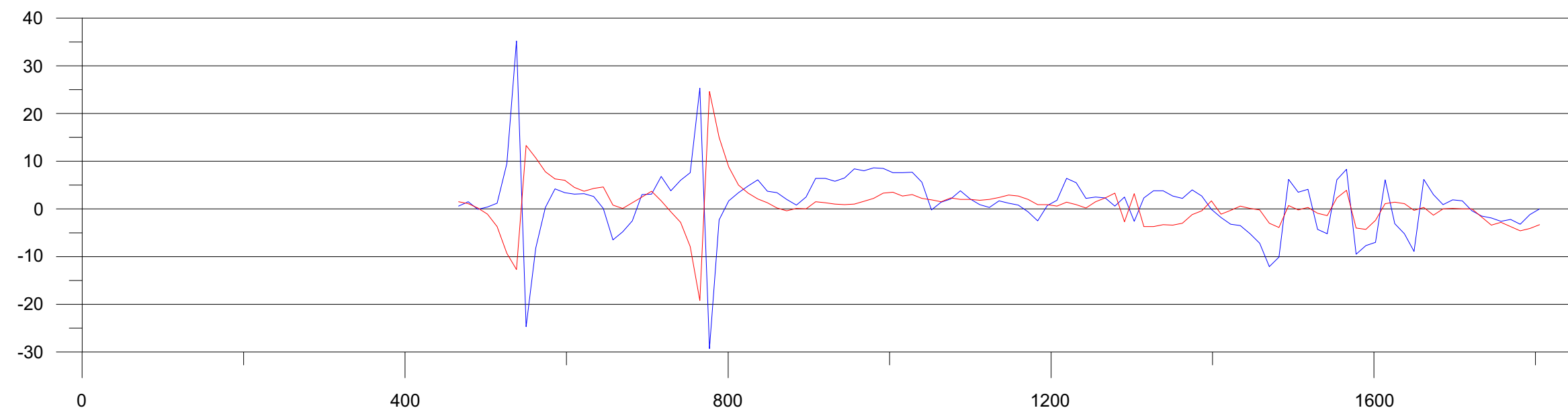
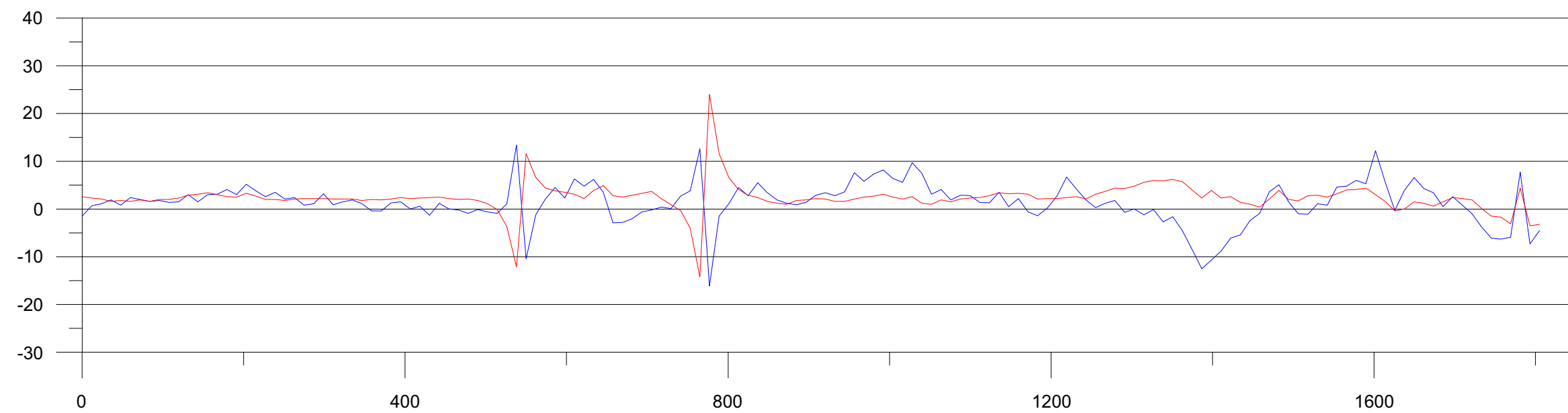
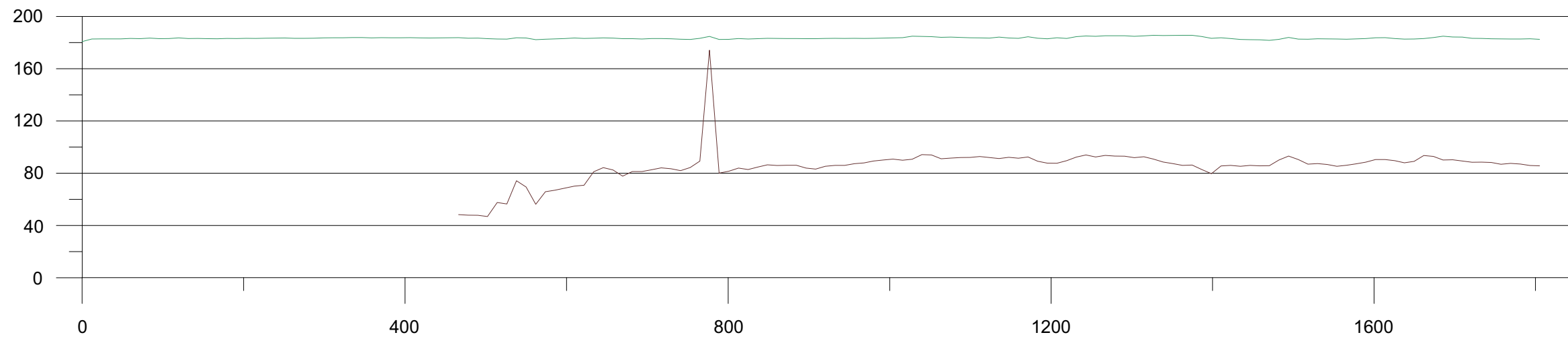
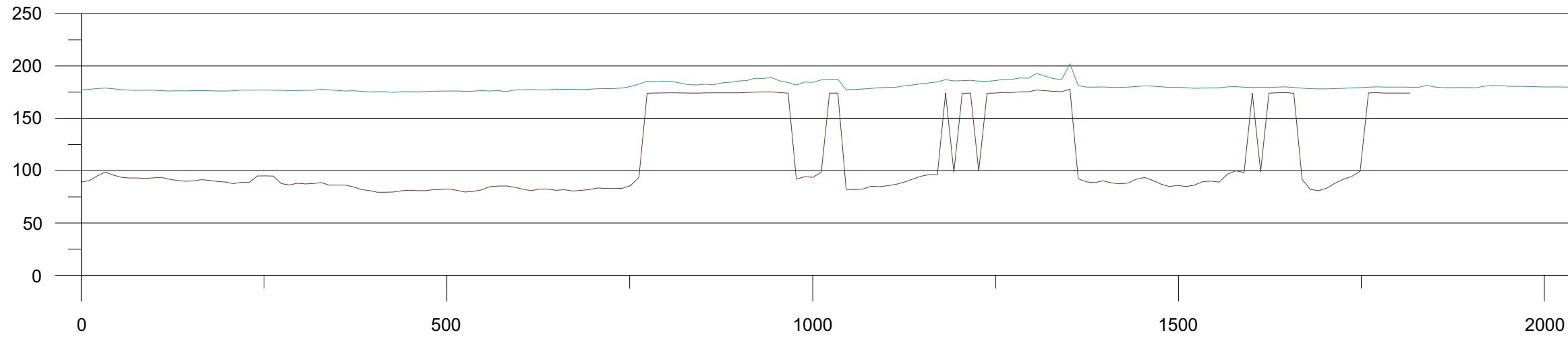


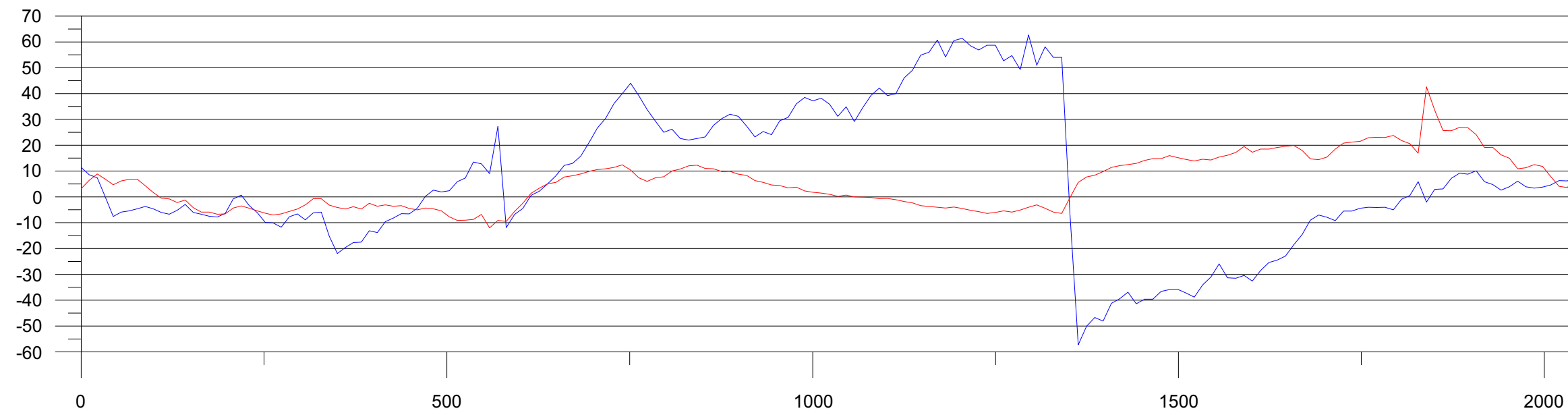
Fig. 5.2.13. Wykresy przebiegu składowych fazowych indukowanego pola elektromagnetycznego wzdłuż linii pomiarowej Mokrzyszów 2

Ostroszowice SW-NE



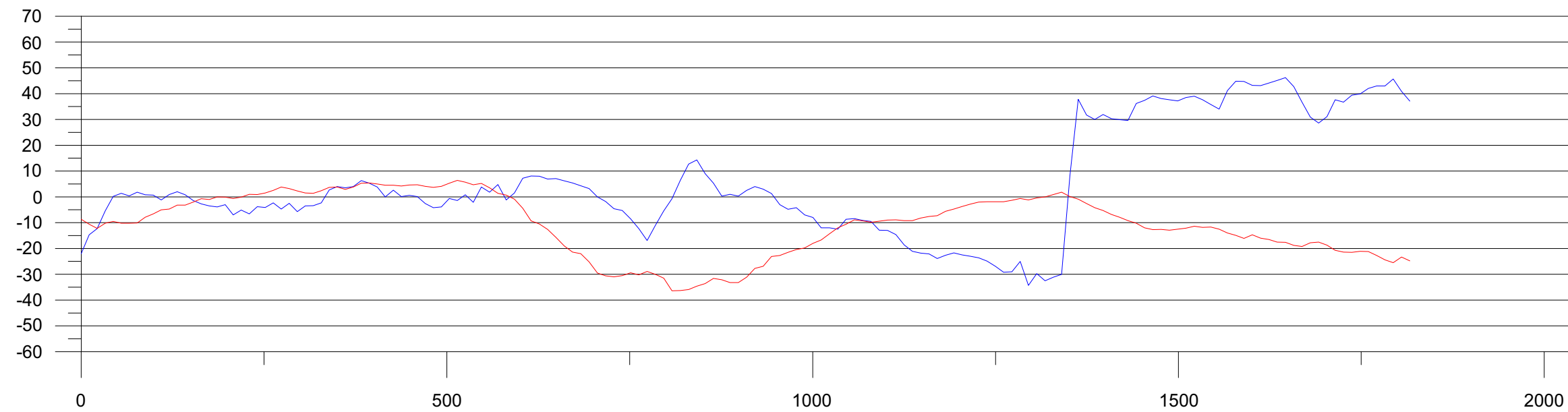
Napięcie pola pierwotnego

18,3 kHz  
23,3 kHz



Składowe pola indukowanego nadajnik Burlage, Niemcy  
kierunek 297  
23,3 khz

IP  
Quad



Składowe pola indukowanego nadajnik Rosnay, Francja  
kierunek 255  
18,3 khz

IP  
Quad

Fig. 5.2.14 Wykresy przebiegu składowych fazowych indukowanego pola elektromagnetycznego wzdłuż linii pomiarowej Ostroszowice

Srebrna Góra (Brzeźnica) SW-NE

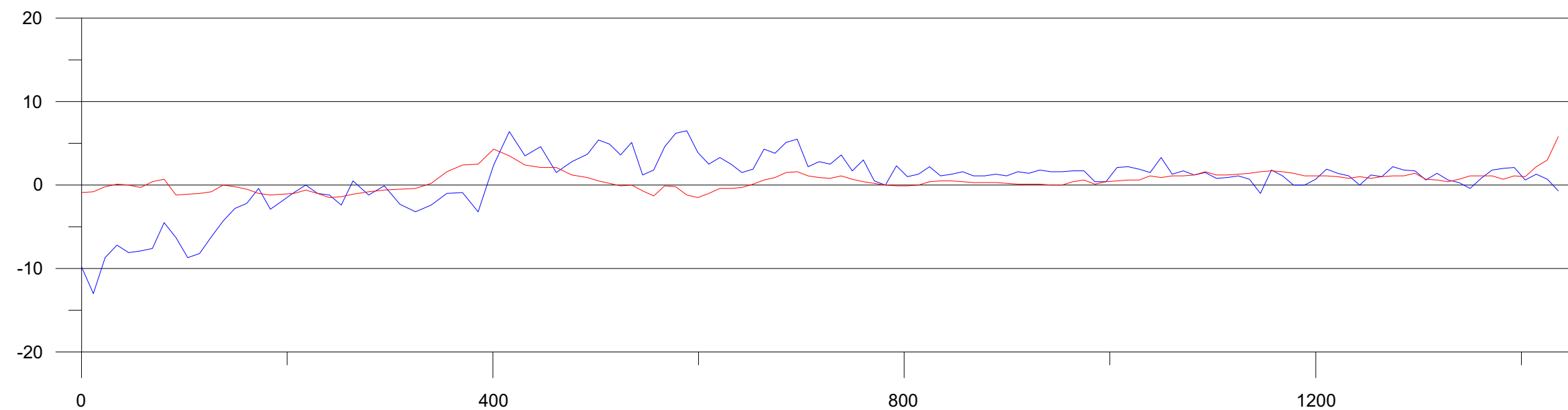
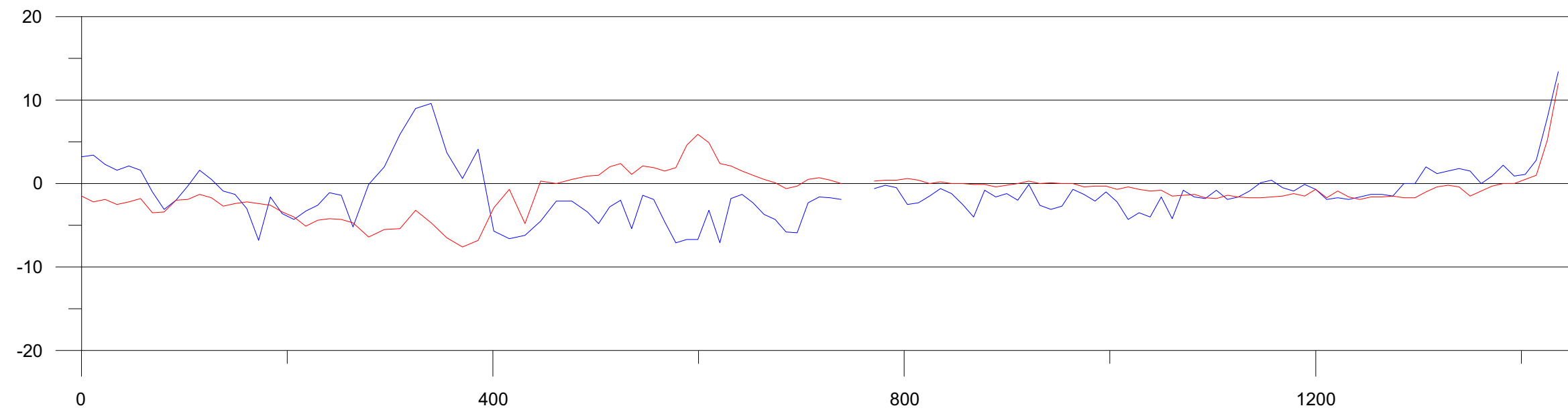
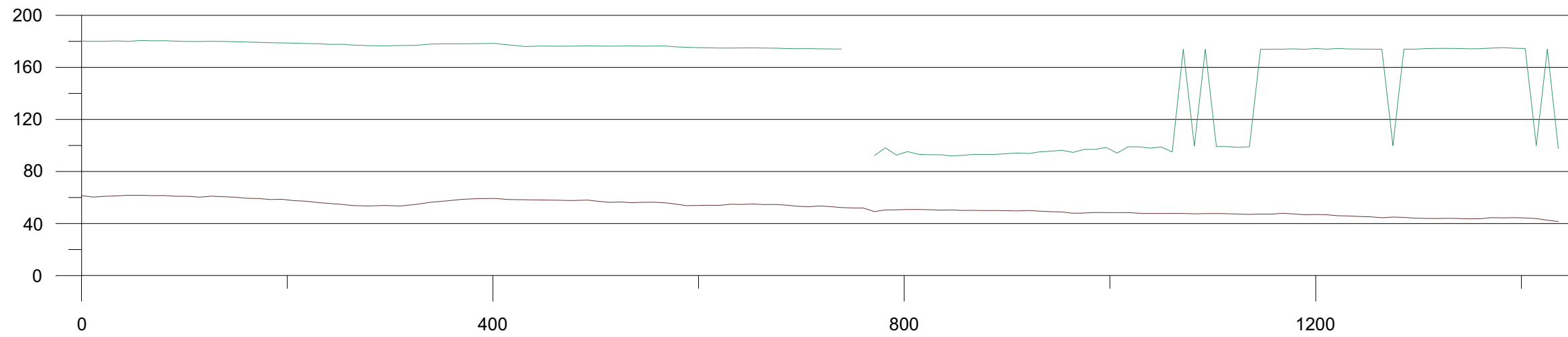


Fig. 5.2.15. Wykresy przebiegu składowych fazowych indukowanego pola elektromagnetycznego wzdłuż linii pomiarowej Srebrna Góra (Budzów)

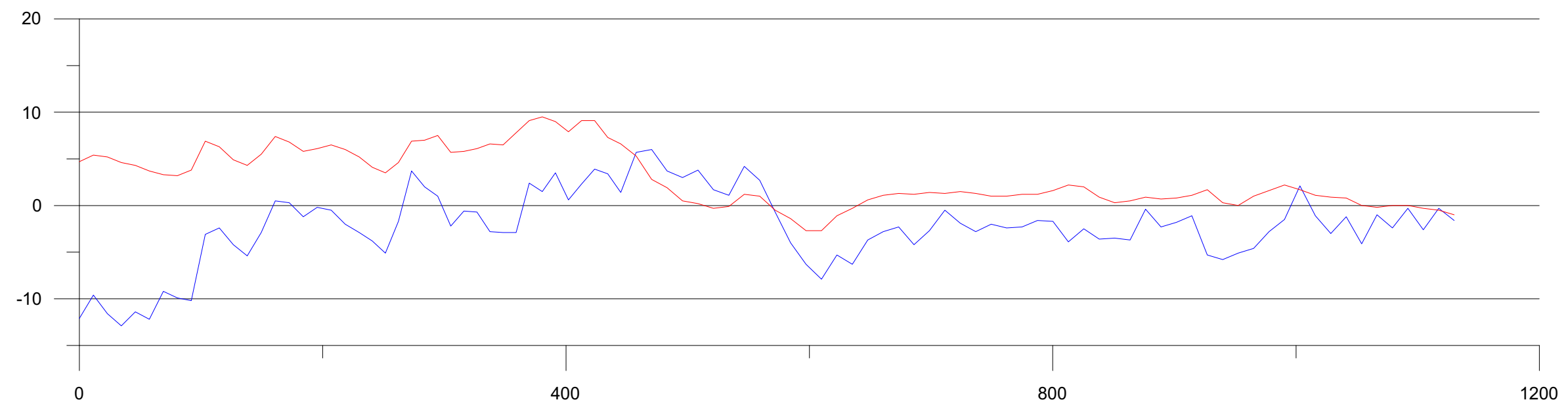
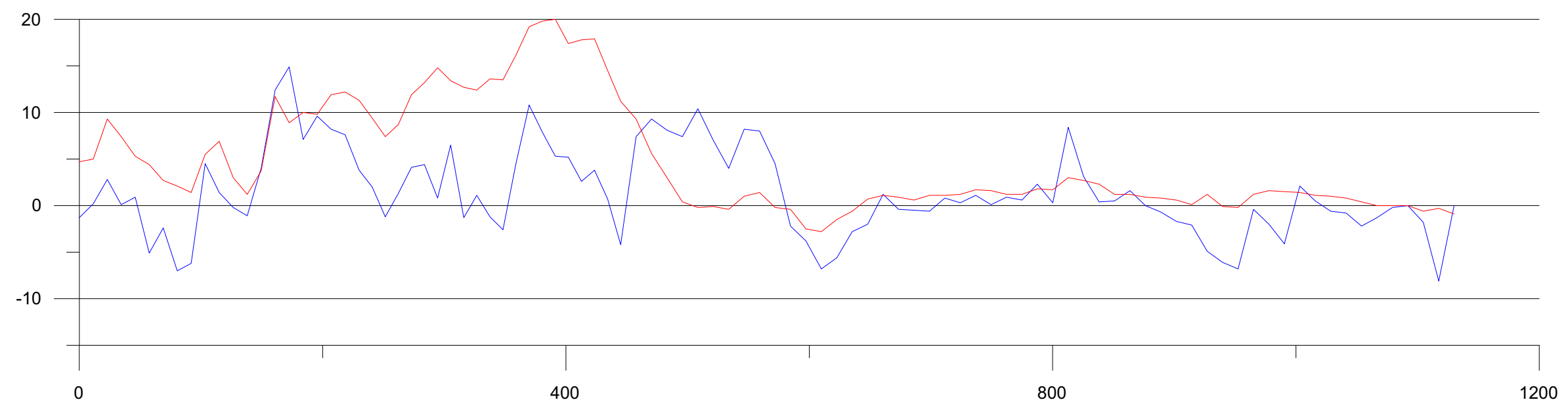
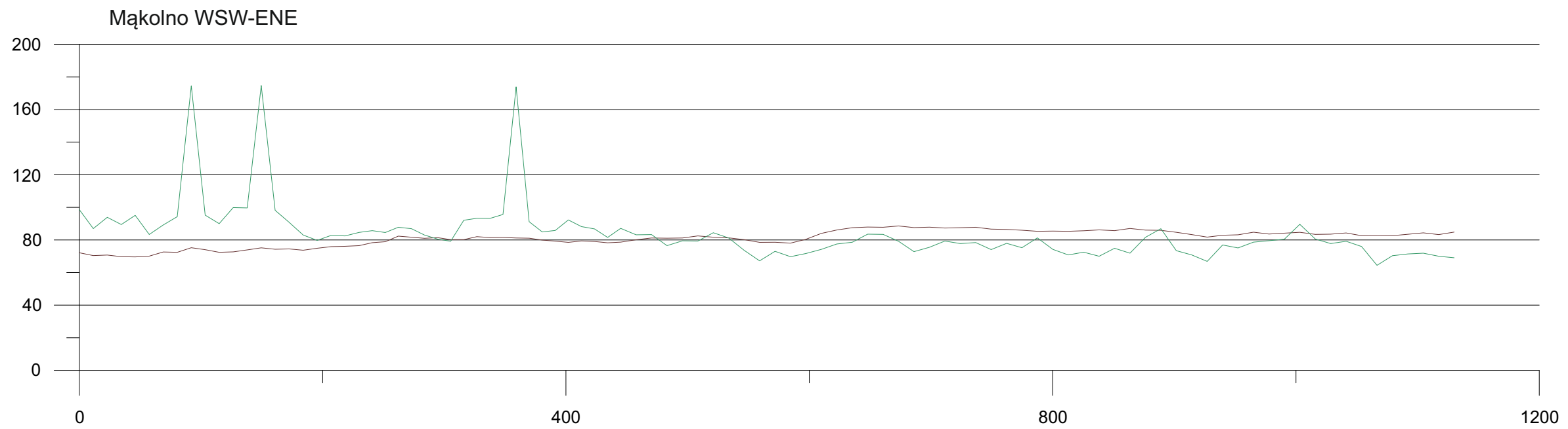
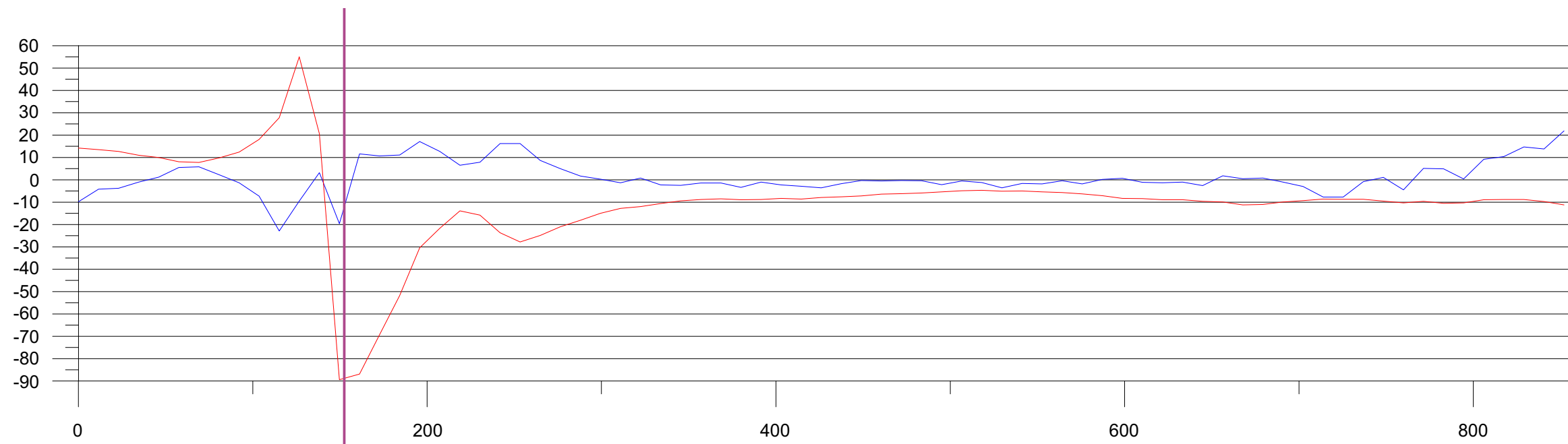
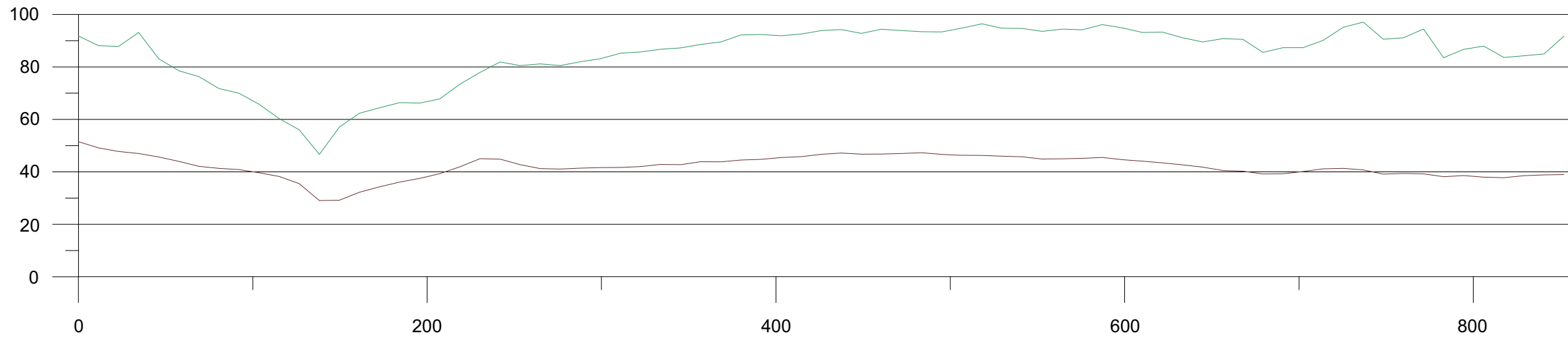


Fig. 5.2.16 Wykresy przebiegu składowych fazowych indukowanego pola elektromagnetycznego wzdłuż linii pomiarowej Mąkolno



Niemcza WSW-ENE



*Linia elektryczna*

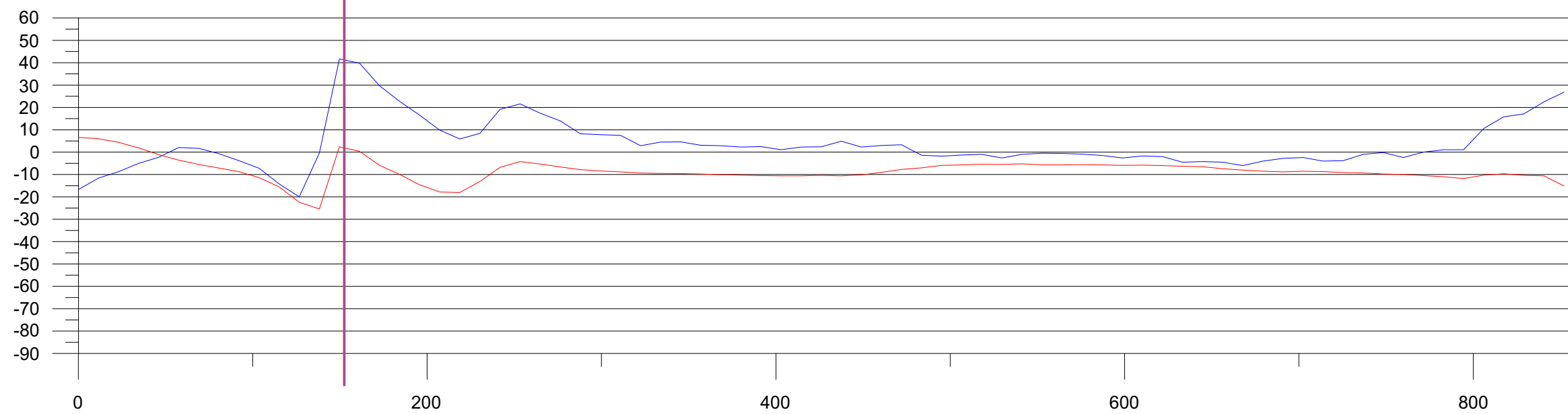


Fig. 5.2.17. Wykresy przebiegu składowych fazowych indukowanego pola elektromagnetycznego wzdłuż linii pomiarowej Niemcza

# Cieplowody I WNW-ENE

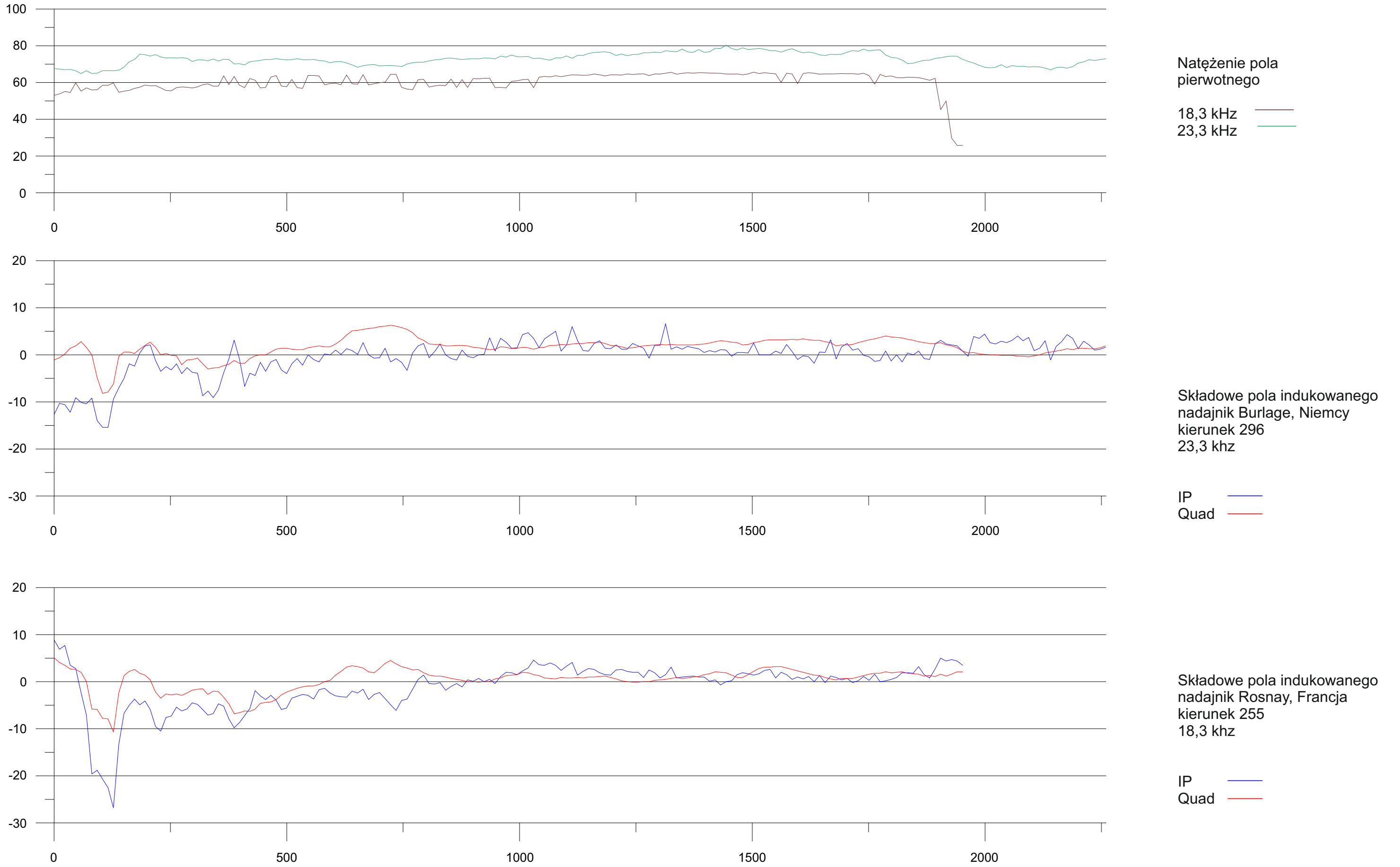


Fig. 5.2.18 Wykresy przebiegu składowych fazowych indukowanego pola elektromagnetycznego wzdłuż linii pomiarowej Cieplowody I

Grabin I W-E

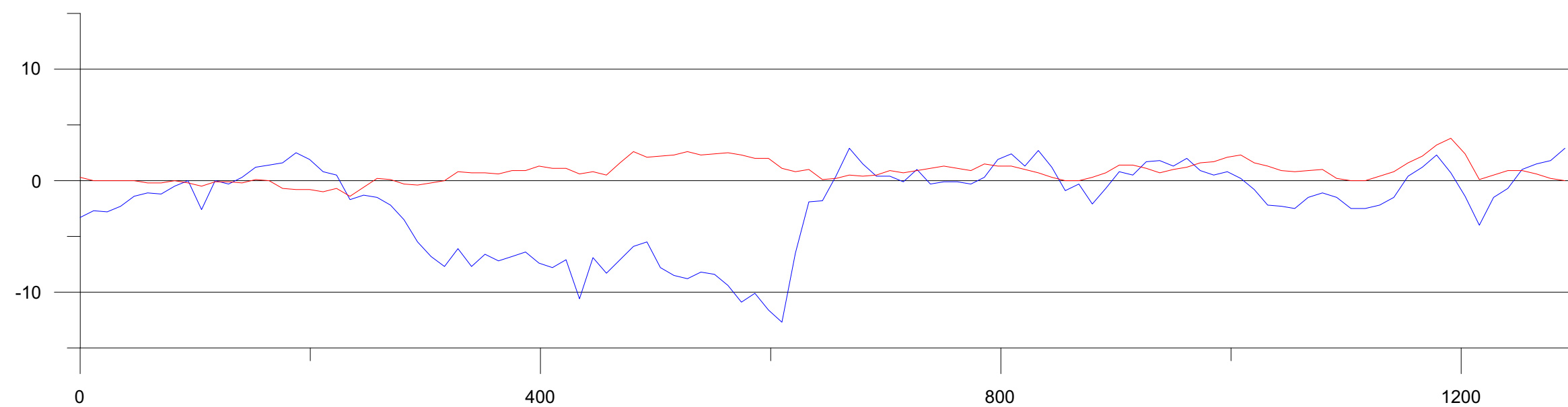
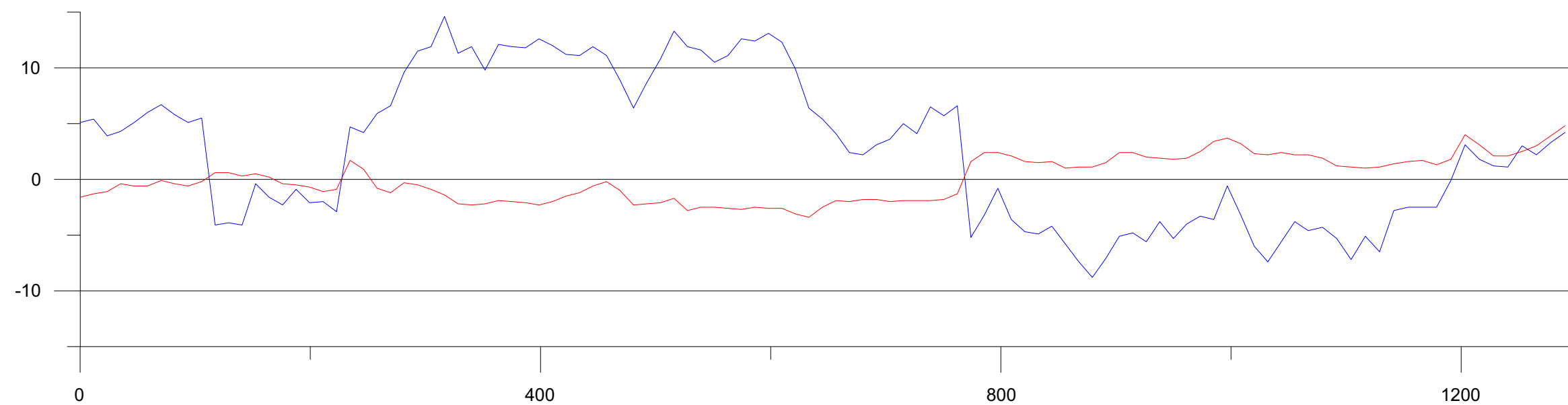
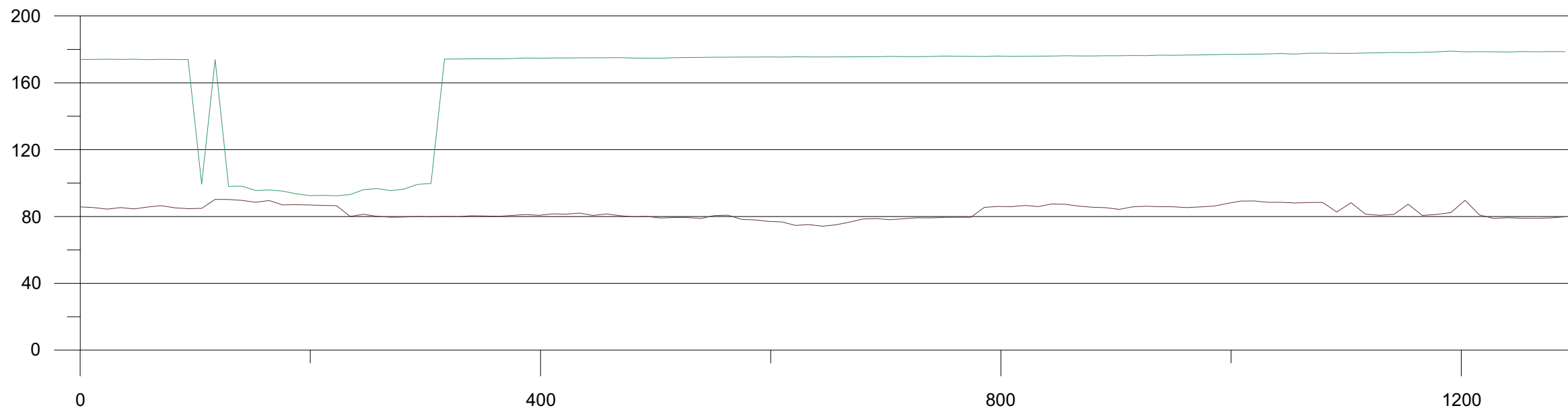


Fig. 5.2.19 Wykresy przebiegu składowych fazowych indukowanego pola elektromagnetycznego wzdłuż linii pomiarowej Grabin I

Tułowice I SSW-NNE

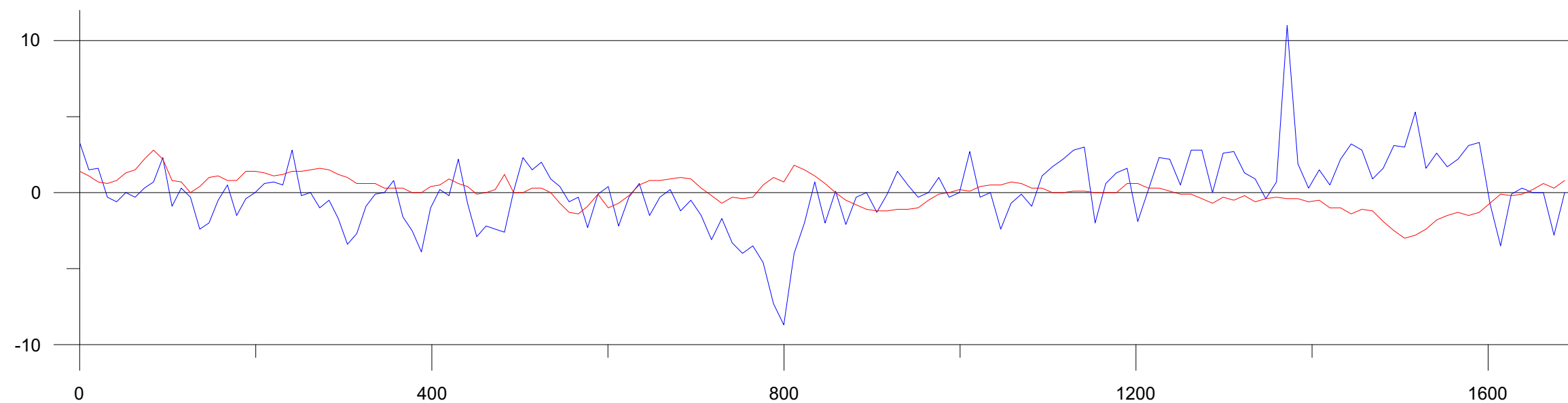
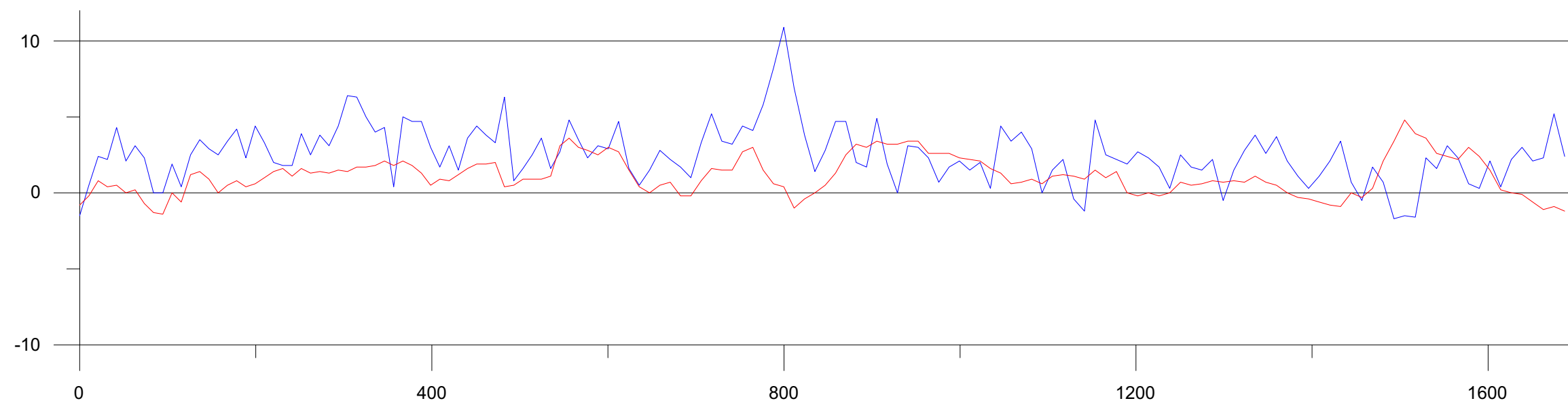
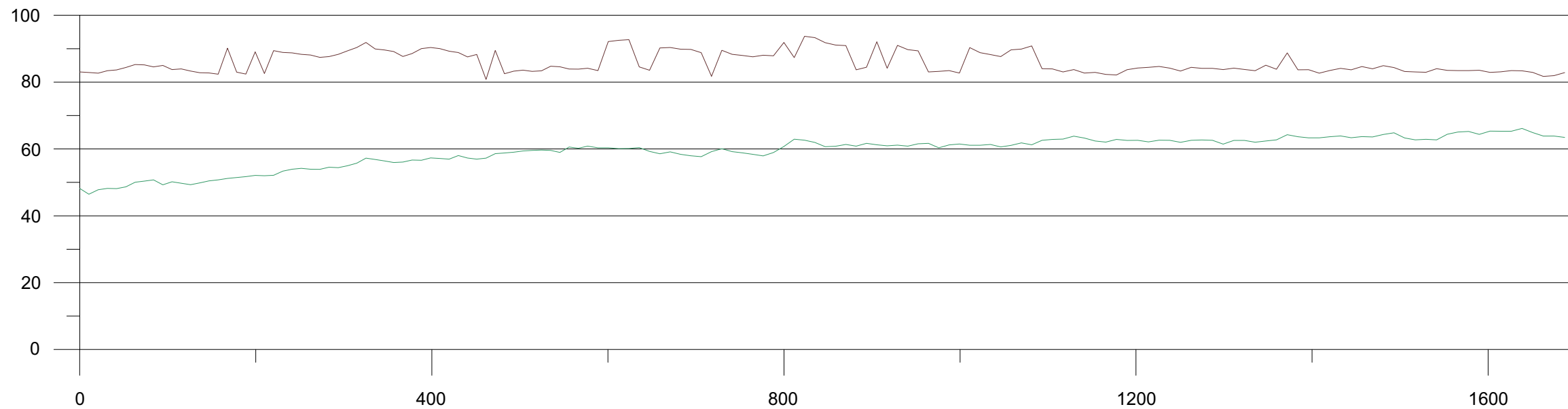
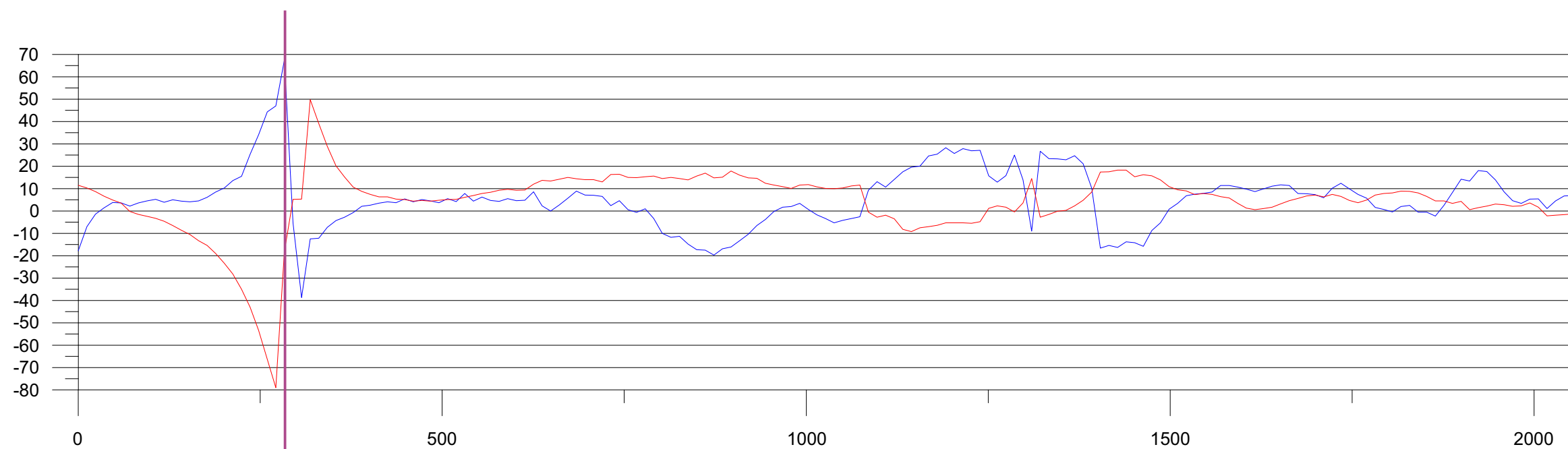
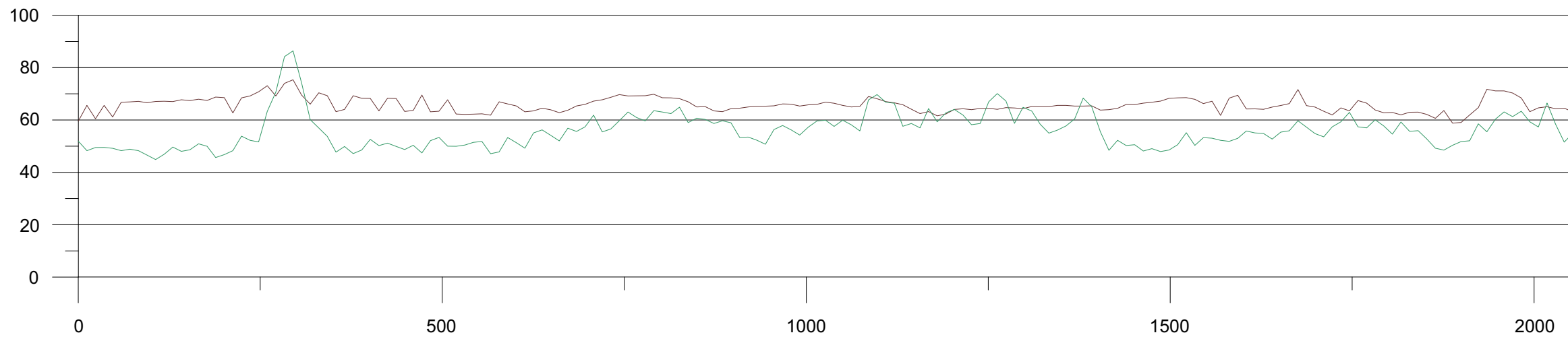


Fig. 5.2.20 Wykresy przebiegu składowych fazowych indukowanego pola elektromagnetycznego wzdłuż linii pomiarowej Tułowice I

Głuchów S-N



*Linia elektryczna*

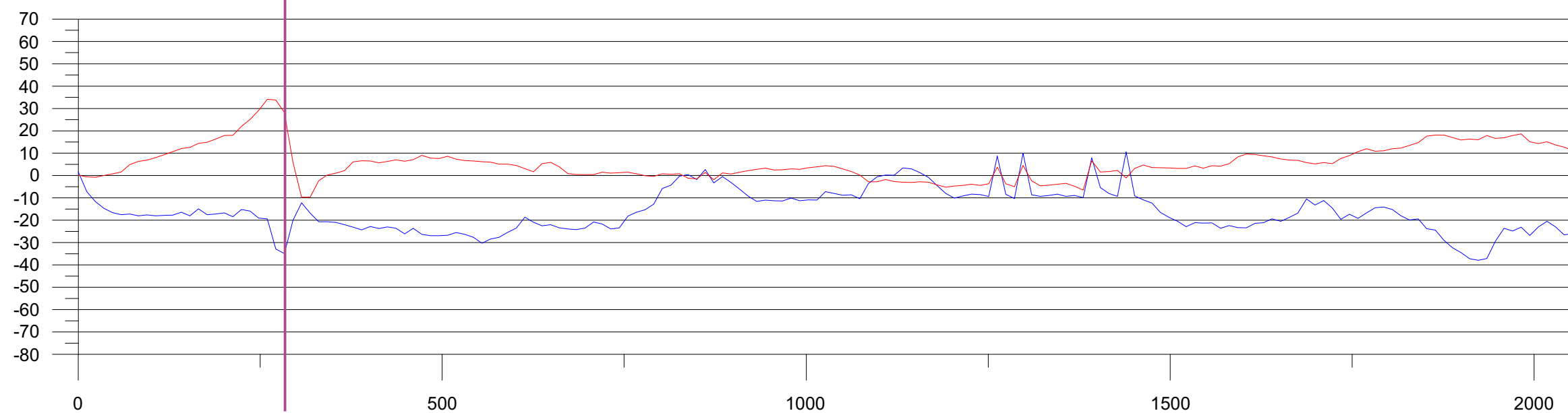


Fig. 5.2.21. Wykresy przebiegu składowych fazowych indukowanego pola elektromagnetycznego wzdłuż linii pomiarowej Głuchów Górny.

# Kępa SSW-NNE

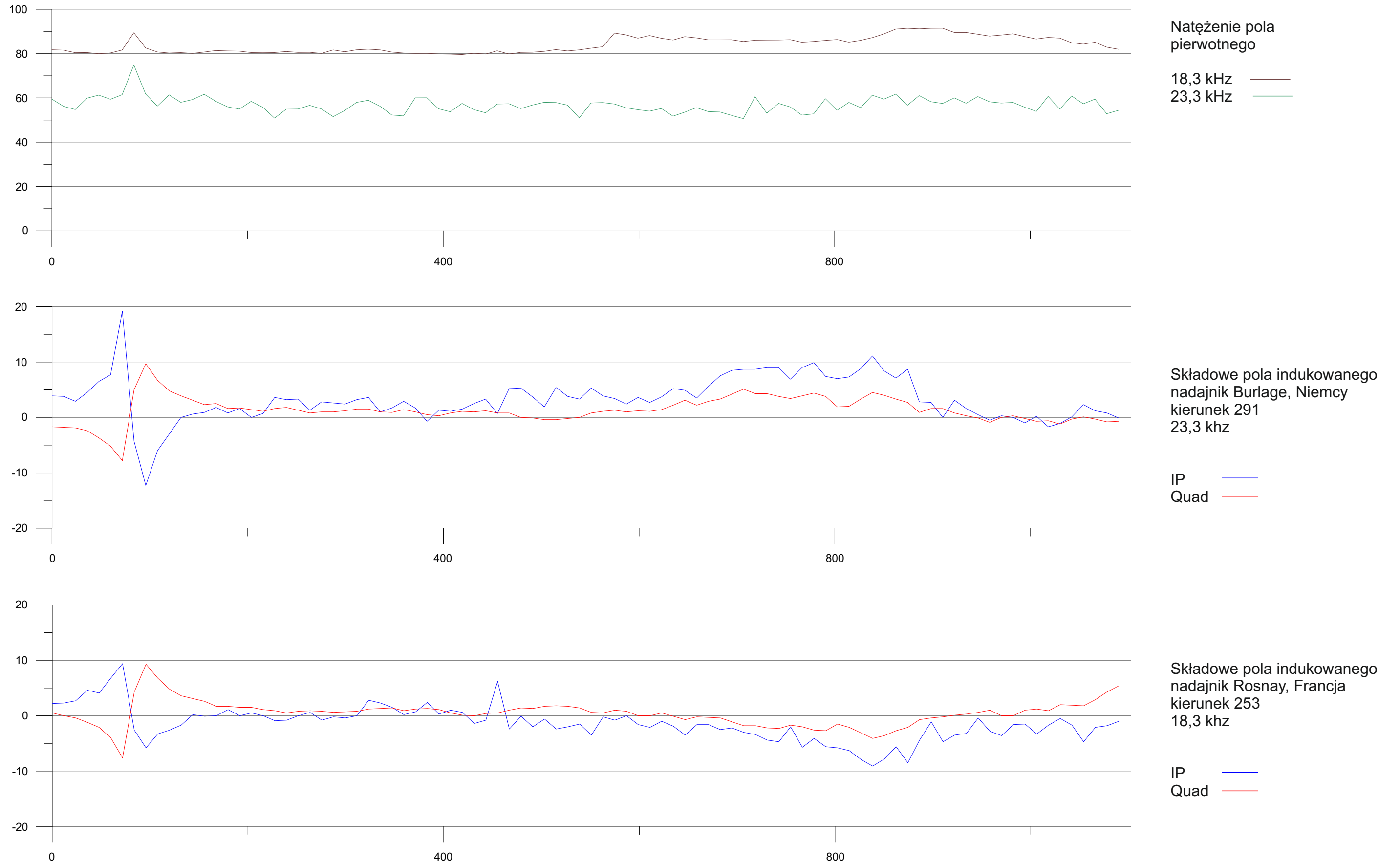


Fig. 5.2.22 Wykresy przebiegu składowych fazowych indukowanego pola elektromagnetycznego wzdłuż linii pomiarowej Kępa